

Boğaziçi Üniversitesi  
Temel Bilimler Fakültesi  
Kimya Bölümü

FOR REFERENCE

DON'T BE TAKEN FROM THIS ROOM

EUPHORBIA LARICA, EUPHORBIA VIRGATA  
EUPHORBIA CHAMAESYCE VE EUPHORBIA MAGALANTHA  
BITKİLERİNİN FLAVONOİDLERİ

(Doçentlik Tezi)

Dr. Belkis Halfon

Bogazici University Library



39001100374761

14

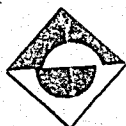
İstanbul - 1982

# İÇİNDEKİLER

Sayfa

## ŞEKİLLERİN LİSTESİ CETVELLERİN LİSTESİ

I. ÖN BİLGİLER	1
1.1. ÇALIŞMANIN AMACI	1
1.2. FLAVONOİD BİLEŞİKLER HAKKINDA GENEL BİLGİLER	2
1.3. FLAVONOİDLERİN ELDE EDİLMELERİ	10
1.4. FLAVONOİDLERİN TANINMALARI	10
II. ELDE EDİLEN SONUÇLAR	19
2.1. KAMFEROL 3-O- $\beta$ -D-GLUKOZİD	19
2.2. KAMFEROL 3-O-RUTİNOSİD	25
2.3. KAMFEROL 3-O-DİGLUKOZİD	29
2.4. KAMFEROL	30
2.5. KERSETİN 3-O-DİGLUKOZİD	33
2.6. KERSETİN 3-O- $\beta$ -D-GLUKOZİD	38
2.7. 6-METOKSİAPIGENİN	41
2.8. SONUC	48
III. DENEYSEL BÖLÜM	49
3.1. GENEL TEKNİKLER	49
3.2. YAPILAN İŞLEMLER	52
3.3. ELDE EDİLEN BİLEŞİKLERİN FİZİKSEL ve SPEKTRAL ÖZELLİKLERİ	55
ÖZET	60
SUMMARY	62
KAYNAKLAR	64



## ŞEKİLLERİN LİSTESİ

	<u>Sayfa</u>
1. Flavonoidlerin sınıflandırılması	2
2. Flavonoidlerin biosentetik oluşumu	6
3. Flavonoidlerin alüminyum klorür ile oluşturdukları kompleksler	15
4. Flavonoidlerin kütle spektrumunda bölünme yolları	17
5. Flavonoidlerin yapılarına göre kütle spektrumunda parçalanma düzenleri	18
6. Kamferol 3-O- $\beta$ -D-glukozid bileşığının UV spektrumu	21
7. Kamferol 3-O- $\beta$ -D-glukozid bileşığının NMR spektrumu	23
8. Kamferol 3-O- $\beta$ -D-glukozid bileşığının Kütle spektrumu	24
9. Kamferol 3-O-rutinosid bileşığının UV spektrumu	26
10. Kamferol 3-O-rutinosid bileşığının NMR spektrumu	28
11. Kamferol Bileşığının UV spektrumu	32
12. Kersetin 3-O-diglukozid bileşığının UV spektrumu	34
13. Kersetin 3-O-diglukozid bileşığının NMR spektrumu	36
14. Kersetin 3-O-diglukozid bileşığının Kütle spektrumu	37
15. Kersetin 3-O- $\beta$ -D-glukozid bileşığının UV spektrumu	40
16. 6-Metoksiapigenin bileşığının UV spektrumu	42
17. 6-Metoksiapigenin bileşığının NMR spektrumu	44
18. 6-Metoksiapigenin bileşığının Kütle spektrumu	45
19. 6-Metoksiapigenin bileşığının Kütle spektrumunda parçalanma yolu ve parçalanma ürünleri	46

## CETVELLERİN LİSTESİ

### Sayfa

1. Euphorbia türlerinde bulunan flavonoidler	4
2. Flavonoid bileşiklerin renk reaksiyonları	11
3. Flavonoidlerin metanol çözeltisinde UV absorbsiyonları	13
4. Flavonoidlerin selüloz ince tabaka plakta, değişik çözücü sistemlerinde $R_f$ değerleri	59
5. Şekerlerin kağıt kromatografisinde $R_f$ değerleri	59

## I. ÖN BİLGİLER

### 1.1. ÇALIŞMANIN AMACI

Flavonoidler doğal ürünlerin en yaygınlarındanandır. Özellikle farmakolojik etkilerinden dolayı son yıllarda geniş çapta kimyasal araştırmalara konu olmaktadır.

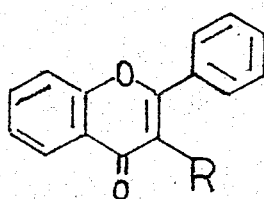
Halk arasında sütligen otu olarak tanınan *Euphorbia* bitki türleri flavonoidler bakımından çok zengindir. Ayrıca bu türlerden bazılarının antimikrobik, antimalaryal, antitümor ve karsinojen etkileri bilinmektedir. Buna rağmen bu türleri kapsayan kimyasal araştırmalar yetersizdir. Yeryüzünde 7300, memleketimizde 70 kadar türü bulunan(1) bu bitkilerin yaygınlığına rağmen sadece otuzdört türün flavonoidleri çalışılmıştır. Bu araştırmaların bir kısmı ise sadece kromatografik karşılaştırma yöntemine dayanmaktadır.

Bu nedenle şimdide kadar kimyasal bakımından incelenmemiş dört *Euphorbia* türü, *E.larica*, *E.virgata*, *E.chamaesyce* ve *E.magalantha* bitkilerinin flavonoid bileşiklerinin elde edilmesi, yapılarının kimyasal ve spektral yöntemlerle aydınlatılması amaçlandı.

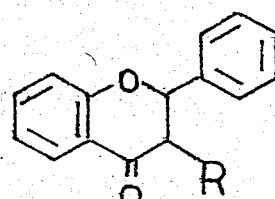
## 1.2. FLAVONOİD BİLEŞİKLER HAKKINDA GENEL BİLGİLER

### 1.2.1. Flavonoidlerin Tanımı

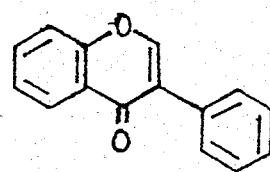
Flavonoid teriminin kökeni "sarı" anlamına gelen Latince "flavus" kelimesidir. Coğunuğu sarı renkli bazı bükisel maddelere bu ad verilmiştir. Bu maddeler genellikle 2-fenilbenzopiran yapısındadır. Bu nedenle sonradan, renkleri ne olursa olsun, benzer yapıdaki tüm maddelere flavonoid adı verilmiştir. Yapıları aydınlatılan flavonoidlerin sayısı arttıkça, iskelet yapılarına veya sübstitüe gruplarına göre bir sınıflandırma gerekli olmuştur. Bu yapıların en yaygın olanları Şekil 1'de gösterilmistir.



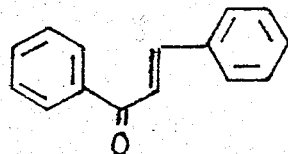
R=H FLAVON



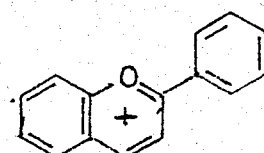
R=H FLAVANON



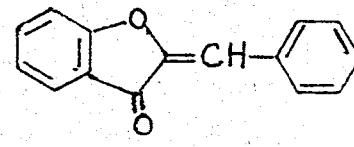
IZOFLAVON



KALKON



ANTOSİYANİDİN



ORON

ŞEKİL 1

Flavonoidler genellikle bitkide glikozid halinde bulunurlar. Yani hidroksil gruplarından biri veya daha fazlası bir şekere bağlıdır. Bileşigin şekerden ayrılan kısmına aglikon denir. Flavonoid glikozidlerde basit heksoz, pentoz ve disakkaridler bulunur. D-glukoz en çok rastlanan şekerdir. D-galaktoz ve L-ramnoz daha az, L-arabinoz D-glukuronik asid ve D-ksiloz ender rastlanan şekerlerdir.

#### 1.2.2. Flavonoidlerin Dağılımı

Flavonoidler, yosunların büyük bir kısmı hariç bütün bitki türlerinde bulunurlar. Bitkinin her bölümünde bu bilesiklere rastlanır, özellikle çiçek ve yapraklarda yoğunlaşırlar. 2000 civarında flavonoid madde bilinmektedir. Euphorbia türlerinde bulunan flavonoid maddeler Cetvel 1'de gösterilmiştir.

#### 1.2.3. Flavonoidlerin Oluşumu

Flavonoidler bitkilerin ikincil metabolitlerindendir. Bitkilerin hayatsal gereksinmeleri için oluşturdukları birincil metabolitlerden olan karbohidratlar ve amino asitlerden türerler.

Biosentez araştırmalarından elde edilen sonuçlara göre fenilalaninin enzimatik deaminasyonundan oluşan fenilpropa-noid, asetil koenzim A ile birleşir. Bu molekülün üç malonil koenzim A molekülüyle kondansasyonu sonucu çalkonlar oluşur. Çalkon-flavanon izomer çifti, oksidasyon, çevrilme, alkilasyon, glikozilasyon gibi kimyasal değişimler sonucu değişik flavon yapılarını meydana getirir(40) (Şekil 2).

## Cetvel 1

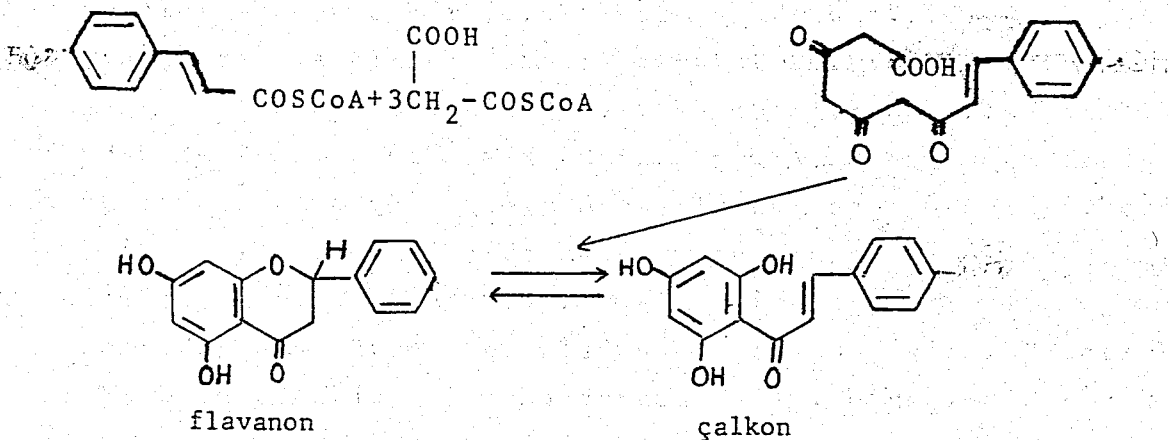
## Euphorbia Türlerinde Bulunan Flavonoidler

<u>Bitki</u>	<u>Flavonoid</u>	<u>Kaynak</u>
<i>E.amygdaloïdes</i>	Kersetin 3- $\beta$ -diarabinozid, kersetin 3- $\alpha$ -diarabinozid, kersetin 3- $\beta$ -diarabinozid, kersetin 3- $\alpha$ -L-arabinofuranozid, kersetin 3- $\alpha$ -L-arabinofuranozid.	2
<i>E.acanthothamnos</i>	Kamferol, kersetin, mirisetin, kersetin 3- $\beta$ -glukozid	3
<i>E.condyllocarpa</i>	Naringenin 7-0- $\beta$ -D- $\beta$ -glukofuranosid	4
<i>E.cyparissias</i>	Kersetin 3- $\beta$ -glukuronid, kamferol 3- $\beta$ -glukuronid	5
<i>E.discolor</i>	Kersetin galaktozid	6
<i>E.dracunculoides</i>	Kamferol	7
<i>E.dulcis</i>	Kersetin 3- $\beta$ -glukozid, kersetin 3- $\beta$ -galaktozid, kersetin 3- $\beta$ -galaktozid-6"-gallat	8,9
<i>E.exigua</i>	Kamferol 3- $\beta$ -glukozid, kersetin 3- $\beta$ -glukuronid, kamferol 3- $\beta$ -glukuronid, kersetin 3- $\beta$ -glukuronid	10
<i>E.geniculata</i>	Kamferol, kersetin, kersetin 3-ramnozid, kamferol 3-rutinozid	11
<i>E.helioscopia</i>	Kersetin 5,3-di-D-galaktozid, kersetin 3-digalaktozid, kersetin, hiperin, hiperosid, kamferol 3- $\beta$ -glukozid, kersetin 3- $\beta$ -galaktozid, kersetin 3- $\beta$ -galaktozid-2"-gallat	12
<i>E.hirta</i>	Bkz. <i>E.pilulifera</i>	13
<i>E.hypericifolia</i>	Kersetin 3-ramnozid, kersetin, ramnetin 3-galaktozid, ramnetin 3-ramnozid, kamferol 3-ramnozid	15
<i>E.indica</i>	Bkz. <i>E.hypericifolia</i>	16
<i>E.kaleniczenkii</i>	Kersetin, mirisetin, hiperosid, mirsitin, 3- $\beta$ -D- $\beta$ -glukopiranozid, 5,7, 2',4'-tetrahidroksifavanon 7- $\beta$ -O- $\beta$ -glukopiranozid (stepposid)	17
<i>E.lanata</i>	Kamferol 7-D-ramnozid, kamferol 3-D-galaktozid, kersetin 7-O-dipalaktozid	17
<i>E.lathyris</i>	Kamferol 3- $\beta$ -D- $\beta$ -glukuronid, kersetin 3- $\beta$ -D- $\beta$ -glukuronid	18
<i>E.lucida</i>	Izokersitrin, avikularosid, hiperosid, rutosid	19
<i>E.lunulata</i>	Kamferol, kersetin, kamferol 3-L-ramnozid, kersetin 3-L-ramnozid	20
<i>E.macroceras</i>	Hiperosid	21
<i>E.myrsinitis</i>	Kersetin	22
<i>E.oblinifolia</i>	Hiperosid, rutin	21,23

Bitki

Kaynak

<u>Flavonoid</u>		
<i>E. palustris</i>	Rhobidanol, rhobidanol 3-gallat, kersetin, mirisetin, kamferol, hiperosid, kamferol 3-ramnoglukozid, kersetin 3-ramnoglukozid	24, 25
<i>E. paralias</i>	Hiperosid, kamferol 3-β-glukozid, kersetin, kersetin 3'-ksilozid, kamferol, ramnetin, kersetin 3-galaktozid, kersetin 3-arabinozid	14, 26, 27
<i>E. peplus</i>	Kamferol 3-glukozid, Kersetin 3-glukozid, kersetin 3-galaktozid, kamferol 3-0-glukozid, ramnetin 3-0-galaktozid, ramnetin ramosid, hiperosid, kamferol 3-glukozid	10, 14, 28
<i>E. pilulifera</i>	Kersitrin, lökosiyanyidol, kamfol, kersitrin	29, 30
<i>E. platiphyllus</i>	Kersetin 3-β-D-galaktopyranosid gallat	31
<i>E. prostrata</i>	Kamferol, kersetin, kersetin 3-ramnozid, apigenin 7-glukozid, ramnetin 3-galaktozid	11
<i>E. salicifolia</i>	Kersetol, rutosid	32
<i>E. scripta</i>	Kersetin 3-0-β-galaktopyranozid, kersetin 3-0-β-D-rutinozid	33
<i>E. seguieriana</i>	Izokersitrin, rutin, kersetin 3-β-glukozid, kersetin 3-galaktozid, kersetin 3-β-galaktozid-2"-gallat	34, 35
<i>E. stepposa</i>	Kersetin 3-β-D-galaktopyranozid, steppogenin, 5, 7, 2', 4'-tetrahidroksiflavanon 7-β-D-glukopyranozid, mirisetin 3-β-D-glukopiranozid (izomirisetin)	36, 37, 38
<i>E. stricta</i>	Kersetin 3-β-galaktozid, kersetin 3-β-arabinozid	8
<i>E. tinctoria</i>	Rutin, kersetin, kamferol ramosid	39
<i>E. verrucosa</i>	Kersetin, 3-β-galaktozid-2"-gallat, kersetin 3-β-palaktozid	8, 31
<i>E. virgultosa</i>	Rutin	35



ŞEKİL 2

#### 1.2.4. Flavonoidlerin Bitkide Görevi

##### Antioksidan Etki

Flavonoidler yükseltgenme reaksiyonlarını katalize eden metaller ile kelat meydana getirerek bitkideki lipidlerin ve poliasetilenik maddelerin yükseltgenmesine mani olurlar. Meselâ, ay çiçeği yağı ve keten yağı yağ asidleri metil esterleri üzerinde kersetin ( $3,5,7,3',4'$ -pentahidroksiflavon) in antioksidan etkisi bulunmuştur.  $3'$ -veya  $4'$ -hidroksil gruplarının metillenmesi bu etkiyi çok azaltmıştır. Yine flavonoidlerin bitkide askorbik asidin yükseltgenmesine mani oldukları bilinmektedir(41,s.1012).

##### UV Işığın Absorplanması

Bütün flavonoidler 200-380 nm bölgesinde ışık absorplarlar. Bu dalga boyalarında tatbik edilen ışık miktarı arttıkça bitkilerde flavonoid madde miktarı artar. Flavonoidlerin bitkiyi UV ışıktan koruyucu bir görevi vardır(41,s.1040).

### Polen Taşıyıcılar Üzerinde Etki

Değişik böcekler, kuşlar ve memeli hayvanlara değişik bitkilerin çekici veya itici gelmesi ile bu bitkilerdeki flavonoidler arasında bir ilişki kurmak mümkündür. Kuşlar, antosianinlerin renklendirdikleri turuncu-kırmızı çiçekleri seçer. Bu çiçekleri böcekler (bazı kelebekler dışında) yeşil fondan seçemez. Böceklerin büyük bir kısmının 350 nm dalga boyu civarında ışığı absorplayan flavon ve flavonol glikozidler ile çalkon, oron, 3-deoksiantosianinler gibi sarı flavonoidlere hassas oldukları bilinmektedir(41, s.1016). Çiçekteki flavonoid dağılım düzeni tozaklamadan sonra değişir ve çiçek bir başka böceğe çekici olmayan duruma gelir. Böceklerin tozakanmamış bir çiçek seçmesini sağlar.

### Bakteri ve Mantarlara Karşı Etki

Bitkilerdeki fenolik maddeler ile, virütik, bakteriyel veya mantar hastalıklarına karşı dirençleri arasında bir ilişki vardır(42,43). Bakteri veya mantar tarafından zarar verilmiş hücreler çevresinde flavonoid yoğunluğu artar. Mantar  $\beta$ -glükozidaz meydana getirerek flavonoid glükozidleri parçalar. Ortaya çıkan aglikon ise mantarın yayılmasını öner(44).

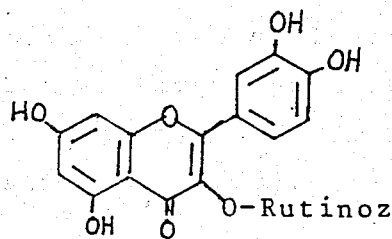
Flavonoidlerin mantarı önleyici özellikleri odunun dayanıklılığına katkıda bulunur. Bir çam türünde (Douglas fir) bulunan dihidrokersetin, bir akasya türünde (Robinia pseudoacacia) bulunan dihidrorobinetin (3,7,3',4',5'-pentahidroksidihidroflavon) ve keyakinin (3,4'-dihidroksi-6-(1",2",3",4"-tetrahidroksibutil) flavon) mantar önleyici flavonlardır(45). Naringenin (5,7,4'-trihidroksiflavanon) ve 5,4'-dihidroksi-6,7,8,3'-tetrametoksiflavon bazı turunçgilleri "kuru hastalık" denilen Deuterophoma tracheiphila mantarından korurlar(46,47).

### 1.2.5. Flavonoidlerin Farmakolojik Uygulamaları

#### İltihaba Karşı Etki

Vücutta iltihap sonucu kapiler duvarlarının geçirgenliği artar ve kolay kırılırlar. 1936 yılında Szent-Gyorgy limon ekstrelerinin kılcal direnci artırdığını tespit etti. Etken faktöre vitamin P adı verildi. Sonraları bu maddelerin vitamin olup olmadıkları tartışıldı ve vitamin yerine bioflavonoid olarak adlandırıldılar. Turunçgillerin suda çözünen flavonoidleri iltihaba karşı kortisondan daha etkilidir(48).

Flavonoidlerin kan dolaşımında etkisi kanıtlandıktan(49) sonra ilaçlarda kullanılmaya başladılar. Mesela bir flavonoid olan rutin (1) türevleri hemoroid, katarakt, varis ve diğer kılcal damar tedavilerinde kullanılır. Hindistan'da yetişen Sophora japonica L. (% 13-30 rutin) bitkisinden elde edilen rutin, İsviçre'de her yıl tonlarca türev haline getirilmektedir.



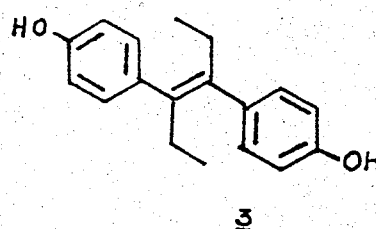
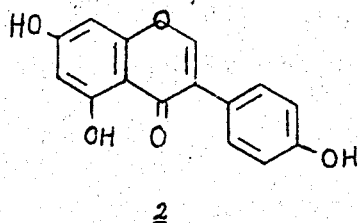
1

Rutinoz: glukoz 6→1- $\alpha$ -ramnoz

#### Estrojenik Etki

Australya'da 1940 sonrası yıllarda koyunların üremelerinde görülen azalmaya, Trifolium subterraneum bitkisinde bulunan isoflavon genisteinin (2) sebep olduğu anlaşılmıştır (yonca hastalığı)(50). Isoflavonların stilboestrollere yapısal benzerliği (mesela, dietilstilboestrol (3)), bu estroje-

nik aktiviteyi açıklayabilir.



### Ishale Karşı Etki

Comptonia pelegrina bitkisinin meyvelerinde galangin (3,5,7-trihidroksiflavon), mirisetin (3,5,7,3',4',5'-heksahidroksiflavon), kamferol (3,5,7,4'-tetrahidroksiflavon), ker-setin ve gallik asid bulunması bu meyvelerin Orta Avrupa'da 19.yüzyıldan beri ishale karşı kullanılmalarına sebep olarak gösterilmiştir(51).

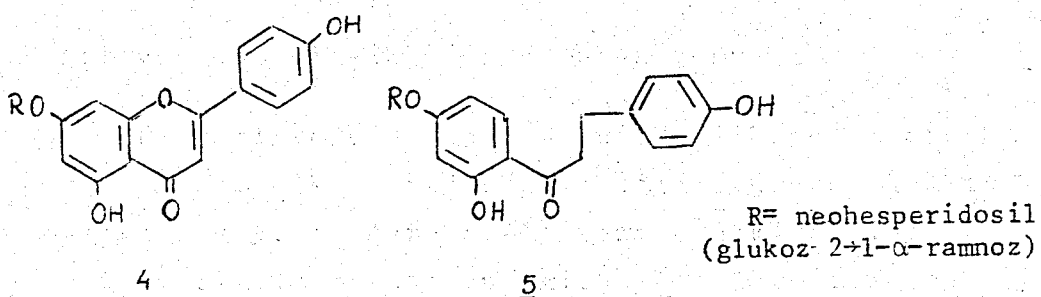
### Antitümör Aktivite

Eupatorium semiserratum bitkisinden elde edilen metok-siflavonoidlerin nasofarinks karsinomaya karşı, Baccharis sarothroides bitkisinden elde edilen metoksiflavonoidlerin karsinoma 9KB sistemine karşı, patuletrin (3,5,7,3',4'-pen-tahidroksi-6-metoksiflavon) in Lewis akciğer karsinomasına karşı etkisi saptanmıştır(52,53).

Flavonoidlerin ayrıca antibiyotik etkileri, antivirütik etkileri, lüteolin (5,7,3',4'-tetrahidroksiflavon) ve türevle-rinin spazmolitik etkileri, bir flavonol-lignan karışımı olan silimarinin siroz tedavisinde etkisi(50) bilinmektedir.

Farmakolojik kullanımlarının dışında bazı flavonoidler tat verici olarak kullanılırlar(54). Açı flavanon glikozidler halka açılması ve katalitik hidrojenlenme sonucu tatlı dihid-

roçalkonlara dönüşürler. Örneğin turuncillerden büyük miktarlarda elde edilen ve bu meyvelere acı bir tat veren narinjin(4), naringenin dihidroçalkon neohesperidosid(5) e % 80 miktarda dönüştürülür. Bu maddé sükrozdan 1000-2000 kere daha tatlıdır.



### 1.3. FLAVONOİDLERİN ELDE EDİLMELERİ

Flavonoid bileşikler bitkiden kromatografik yöntemlerle ayrılır ve temizlenir. Kurutulup toz haline getirilen bitki polar olmayan çözücüden polar olan çözücüye doğru tüketilir. Elde edilen ekstreler sütun, preparatif kalın tabaka ve/veya kağıt kromatografisi yöntemleriyle temizlenir. Sütun kromatografisinde en çok kullanılan adsorban poliamiddir. Poliamid zincirindeki karbonil ve amide grupları ile flavonoidlerin fenolik hidroksil grupları arasında meydana gelen hidrojen bağları kromatografik ayırımı sağlar. Ayrıca mikrokristal selüloz, silikajel, Sefadeks LH-20 de kullanılan adsorbanlardır.

### 1.4. FLAVONOİDLERİN TANINMALARI

#### 1.4.1. Renk Reaksiyonları

Flavonoidler UV ışıkta belirgindirler. UV ışıkta renkleri ve bu renklerin amonyak buharı ve NA Belirteci (Na-

turstoffreagenz A, difenilborik asit  $\beta$ -aminoetil esteri) ile değişimleri bileşiklerin tipi ve sübstiyonları hakkında kabaca ön bilgiler sağlar (Cetvel 2)(55).

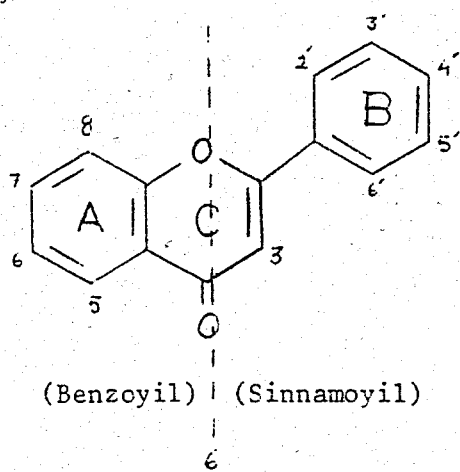
#### 1.4.2. Spektral Yöntemler

##### 1.4.2.2. Flavonoid Bileşiklerin UV Spektrumu

Bu yöntem flavonoid yapı tayininde ilk ve en çok kullanılan yöntemdir. Çok az madde gerektirir ve yapı hakkında önemli bilgiler sağlar. Ayrıca, flavonoid çekirdeğine bağlı fonksiyonel gruplarla reaksiyona giren özel belirteçler (sodyum metoksid, sodyum asetat, aluminyum klorür ve aluminyum klorür/hidroklorik asit) UV spektrumunda kaymalara neden olurlar. Böylelikle fonksiyonel gruplar ve çekirdeğe bağlanıkları konumlar belirlenir(41, s.46).

##### Metanoldaki Spektrum

Flavonoid bileşiklerin UV spektrumunda başlıca iki absorpsiyon bantı vardır. Bant I 350-400 nm bölgesinde dir ve flavonoid B halkasının (6) sinnamoyil sistemi ile ilişkili dir. Bant II 240-285 nm bölgesinde dir ve A halkasının benzoyil sistemi ile ilişkilidir.



## Flavonoid Bileşiklerin Renk Reaksiyonları

- 12 -

UV	UV/NH <sub>3</sub>	UV/NA	Flavonoid Bileşik
Koyu mor	Koyu mor	Koyu mor	5-OH açık, 3-OH yok ya da kapalı 3'-4' OH yok veya kapalı
Koyu mor	Koyu mor	Sarı	5-OH açık, 3-OH yok ya da kapalı, 4'-OH kapalı, 3'-OH açık
Koyur omr	Sarı	Sarı	5-OH açık, 3-OH yok ya da kapalı, 4'-OH Serbest, 3'-OH yok ya da kapalı
Koyu mor	Sarı	Turuncu	5-OH açık, 3-OH yok ya da kapalı, 3'-4' OH açık
Koyu mor	Koyu kahverengi	Kahverengi	5-6 OH var, 3-OH yok ya da kapalı, 3' ya da 4' -OH açık
Koyu mor	Koyu kahverengi	Turuncu	5-6 OH var, 3-OH yok ya da kapalı, 3'-4' OH var
Sarı	Sarı	Sarı	Serbest 3 ve 5-OH var
Sarı	Sarı	Kırmızı-turuncu	3 ve 5-OH açık, 3'-4' OH var
Parlak florescent	Parlak floresan	Mavi	5-OH yok ya da kapalı, 3-OH yok ya da kapalı
Parlak floresant	Parlak floresan	Mavi-yeşil	5-OH yok ya da kapalı, 3-OH yok ya da kapalı, 3'-4' OH var
Parlak floresant	Daha parlak floresan	Mavi	5-OH yok ya da kapalı, 3'-4' OH yok
Parlak floresant	Daha parlak floresan	Mavi-yeşil	5-OH yok ya da kapalı, 3'-4' OH var
Parlak floresant	Daha parlak floresan	Sarı	5-OH yok ya da kapalı, 3'-4' OH var

Degisik iskeletlere sahip flavonoid bileziklerin metanol cozeltilerinin UV absorpsiyonları da farklıdır (Cetvel 3).

Cetvel 3

<u>Flavonoid</u>	<u>MeOH (<math>\lambda_{max}</math>, nm), Bant I.</u>
Flavon	304-350
Flavonol	352-385
Isoflavon	300-340 (düşük şiddetli omuz)
Flavanon	300-340 (düşük şiddetli omuz)
Kalkon	340-390
Oron	370-430
Antosiyanidin	465-550

A veya B halkasındaki hidroksil gruplarının sayısı arttıkça ilgili bantlar daha uzun dalga boyuna kayarlar. Örneğin, flavon  $\lambda_{max}$  (MeOH) 250, 294, 307 (omuz) nm; 3',4'-dihidroksiflavon  $\lambda_{max}$  (MeOH) 242, 308 (omuz) 340 nm; 5,7,8-trihidroksiflavon  $\lambda_{max}$  (MeOH) 281, 364 (omuz) nm.

A veya B halkalarındaki hidroksil gruplarının metilenmesi veya glikozidlenmeleri halinde bantlar, hidroksil grupları serbest olan bileşike nazaran daha kısa dalga boyuna kayarlar ve şiddetleri azalır.

Sodyum Metoksid ile Yapılan UV Kaymaları

Kuvvetli bir baz olan sodyum metoksid flavonoid çekirdeğine bağlı bütün fenolik protonları iyonize eder. Serbest hidroksil taşıyan flavonoidlerde metanol çözeltisine sodyum metoksid ilavesi ile iki bant da daha uzun dalga boyuna kayarlar.

Serbest 4'-hidroksil taşıyan moleküllerde bant I 40-65 nm kadar uzun dalga boyuna kayar ve şiddeti artar. 3-hidroksil taşıyan ve 4'da hidroksil grubu olmayan moleküllerde bant I 50-60 nm kayar, fakat şiddeti azalır. Serbest 7-hidroksil taşıyan flavon veya flavonollerde 320-330 nm arasında bazen bir omuz bazen de düşük şiddetli bir pik halinde bant III görülür.

3,4'-veya 3,3',4-hidroksil grubu taşıyan flavoneller sodyum metoksidde zamanla bozunur ve bantların şiddeti zamanla azalır.

#### Sodyum Asetat ile Yapılan UV Kaymaları

Sodyum asetat sodyum metoksidden daha zayıf bir bazdır ve sadece daha asid karakterdeki fenolik protonları iyonize eder. Özellikle 4' ve 7 konumlarındaki hidroksil grupları hakkında bilgi verir.

7-hidroksil grubu taşıyan flavon ve flavonollerde metanol çözeltisine sodyum asetat ilavesi ile bant II 5-20 nm lik bir batokromik kayma gösterir. 6 veya 8 konumunda oksijenasyon görülen flavonlarda bu kayma azalır. 4'-hidroksiflavon ve flavonollerde 7-hidroksil grubu kapalı ise (metoksi veya glikozid türevi) bant I'in sodyum asetat ile kayması sodyum metoksid kayması ile aynı miktarda veya daha fazladır. 7-hidroksil grubu açık ise sodyum asetat ile kayma daha azdır. 5,6,7 veya 3,3',4-trihidroksil grubu taşıyan flavonoidlerde, spektrum zamanla bozunur.

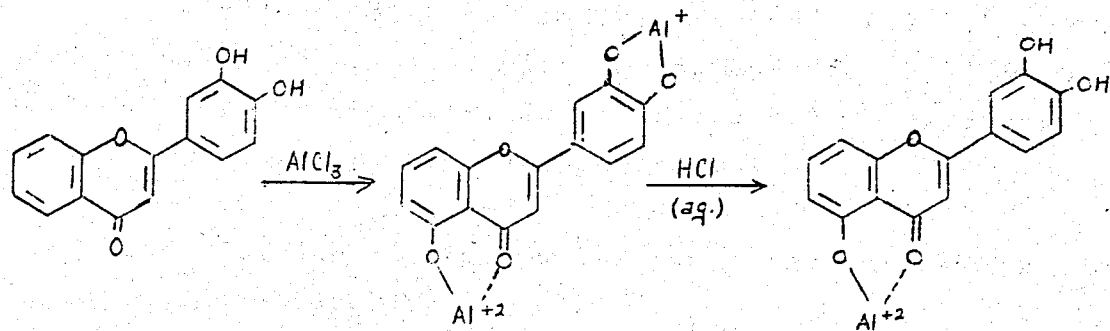
#### Sodyum Asetat/Borik Asit ile UV Kaymaları

Sodyum asetat ve borik asit karışımı, antosianidinler dışındaki bütün flavonoidlerde orta dihidroksi gruplarını taşıyinde kullanılır. Flavon ve flavonollerde B halkasındaki

$\alpha$ -dihidroksi grupları bant I in 12-30 nm kaymasına, A halka-sindakiler ise yine bant I in daha az kaymasına neden olurlar.

### Aluminyum Klorür ile UV Kaymaları

Aluminyum klorür, 5-hidroksi-4-keto, 3-hidroksi-4-keto ve  $\alpha$ -dihidroksil grupları ile kompleks oluşturur ve bantlar daha yüksek dalga boyuna kayar.  $\alpha$ -Dihidroksil grupları ile oluşan kompleks seyreltik asid ilavesi ile bozunur, diğerleri bozunmaz (Şekil 3).



ŞEKİL 3

B halkasında  $\alpha$ -dihidroksil grupları  $\text{AlCl}_3$  spektrumunda  $\text{AlCl}_3/\text{HCl}$  spektrumundan 30-40 nm daha fazla kaymaya neden olurlar.

#### 1.4.2.3. Flavonoidal Bileşiklerin NMR Spektrumları

##### A Halkası Protonları

5,7-Dihidroksiflavonoidlerde C-6 ve C-8 protonları, 5.7-6.9 ppm bölgesinde J değerleri 2.5 Hz olan iki dublet ve rirler. H-6 dubleti H-8 dubletinden daha yukarı sahada çıkar. 7-Hidroksiflavonoidlerde C-5 protonu 4-keto grubunun etkisiyle aşağı sahaya kayar ve 8 ppm civarında görülür. H-6 protonu ile etkileşim sonucu J değeri 9 Hz olan bir dublet halinde

çıkar.

### B Halkası Protonları

4'-sübstitüe flavonoidlerde C-2', 3', 5', 6' protonları, A halkası protonlarından daha aşağı bölgede, 6.5-7.9 ppm bölgesinde J değerleri 8.5 Hz olan iki dublet halinde görülürler. H-3'(5') dubleti H-2' (6') dubletinden daha yukarı sahادır. C halkasının oksidasyon derecesi H-2' (6') dubletinin yerini etkiler.

3', 4'-disübstitüe flavonoidlerde H-5', 6.7-7.1 ppm de J değeri 8.5 Hz olan bir dublet görünümündedir. H-2' (dublet, J=2.5 Hz) ve H-6' (kuartet, J=2.5 ve 8.5 Hz) 7.2-7.9 ppm bölgesinde ve genellikle üst üste çıkarlar.

Flavonlarda C-3 protonu 6.3 ppm civarında keskin bir singlet halinde görülür.

### Metoksi Protonları

Metoksi protonları sinyali  $\text{CCl}_4$ ,  $\text{CDCl}_3$ ,  $\text{DMSO-d}_6$  gibi çözücülerde 3.5-4.1 ppm bölgesinde görülür. Metoksi gruplarının konumunu belirlemek için NMR spektrumu ayrıca benzen- $d_6$  da alınır. Benzenin etkisiyle metoksi proton sinyalleri konumlarına göre kayma gösterirler.

### Şeker Protonları

O-glikozilflavonoidlerde, şeker C-1 protonu (H-1") dısındaki bütün şeker protonları 3-4 ppm arasında multiplet olarak görülürler.

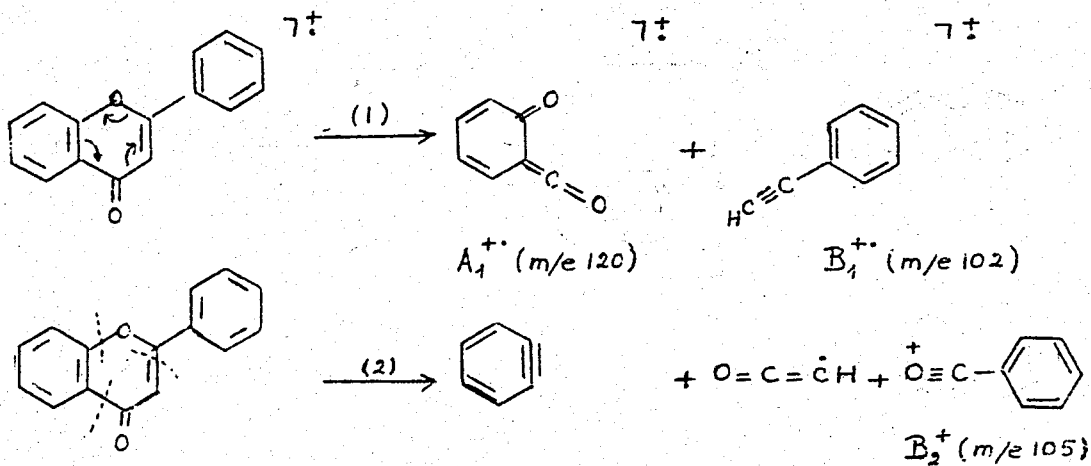
H-1" protonu şekerin bağlı olduğu konuma göre değişik yerlerde çıkar. 3-O-glukozitlerde H-1" protonu 5.7-6.0 ppm ara-

sında, 7-, 5- ve 4'-O-glükozitlerde 4.8-5.2 ppm arasında, 3-O-ramnosidlerde 5.0-5.1 ppm arasında görülür.  $\beta$ -bağlı glükozitlerde, H-1" ve H-2"nin diaksiyal etkileşmesi sonucu, H-1" sinyali J değeri 7 Hz olan bir dublet olarak görülür.  $\alpha$ -bağlı ramnosidlerde ise diekvatoryel etkileşim sonucu J değeri 2 Hz olan bir dublet meydana gelir.

#### 1.4.2.4. Flavonoidal Bileşiklerin Kütle Spektrumları

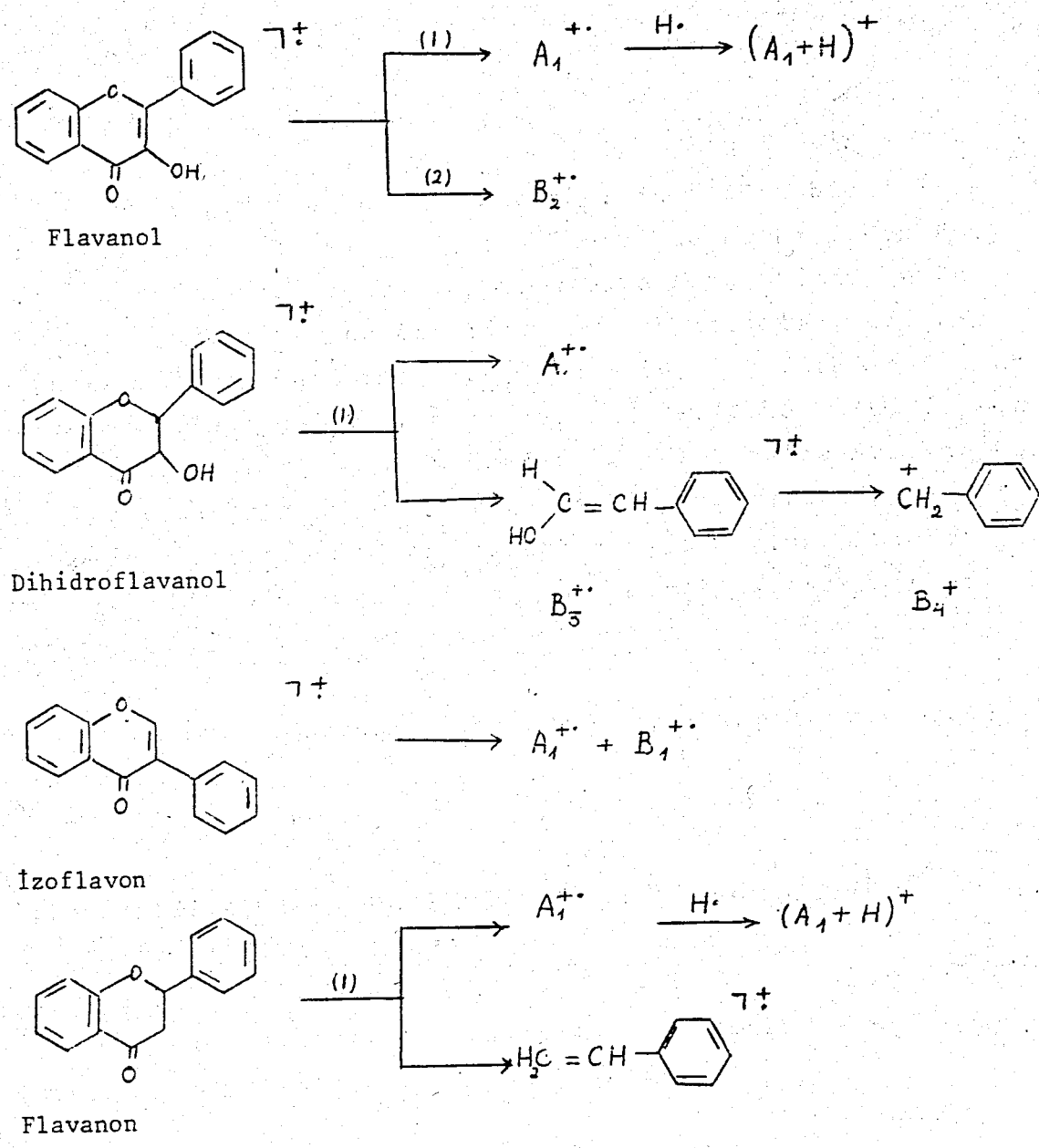
Kütle spektrumu özellikle çok az madde ile çalışma imkanı sağladığı için flavonoid yapı tayininde önemli bir yardımıcıdır.

Flavonoid aglikonlarda moleküler iyon ( $M^+$ ) piki çok şiddetlidir ve genellikle spektrumdaki ana piktir. Flavonoid glikozitler deuçu özelliğinin az olması nedeniyle moleküller iyon piki görülmez. Aglikonun diğer önemli pikleri ( $M-H^+$ ) ve metoksi flavonlarda  $(M-CH_3)^+$  ve  $(M-CO-CH_3)^+$  dır. Bu iyonların dışında A ve B halkaları koparak bir seri iyon oluşturur. Bu iyonlar A ve B halkalarının sübstiyüsyon durumunu belirlerler. A ve B halkalarının parçalanmaları iki yoldan olabilir (Şekil 4). Birinci yol bir retro-Diels-Alder bölünmesidir(41).



Sekil 4

Değişik yapılardaki flavonoidlerin parçalanma düzenlemesi değişiktir (Şekil 5).



Şekil 5

## 2. ELDE EDİLEN SONUÇLAR

)

Çalışmamızda *Euphorbia* türlerinden dört bitki incelenmiş, *E.larica* bitkisinden dört, *E.virgata* bitkisinden üç, *E.chamaesyce* bitkisinden üç, *E.magalantha* bitkisinden üç flavonoid bileşik elde edilmiştir. Bu bileşikler, her bir bitkide bulunan kamferol 3-O- $\beta$ -glukozid, *E.larica* ve *C.chamaesyce* bitkilerinde bulunan kamferol 3-O-rutinosid, *E.virgata* ve *E.magalantha*'da bulunan kamferol, *E.larica*'da bulunan kamferol 3-O-diglukozid, *E.virgata*'da bulunan kersetin 3-O-diglukozid, *E.chamaesyce* ve *E.magalantha*'da bulunan kersetin 3-O-glukozid ve *E.larica*'da bulunan 6-metoksiapigenin bileşiklerdir.

Bu bileşiklerin yapılarının nasıl saptandığı aşağıda açıklanmıştır.

### 2.1. KAMFEROL 3-O- $\beta$ -D-GLUKOZİD BİLEŞİĞİNİN YAPISININ SAPTANMASI

Bileşik *E.larica*, *E.virgata*, *E.chamaesyce* ve *E.magalantha* bitkilerinin herbirinde bulundu.

#### 2.1.1. Renk Reaksiyonları

Selüloz ince tabaka plakta, UV ışık altında, mor renkte görülen bileşik amonyak buharı ve NA belirteci ile sarı

renge dönüşmektedir (Cetvel 2).

### 2.1.2. UV Spektrumu

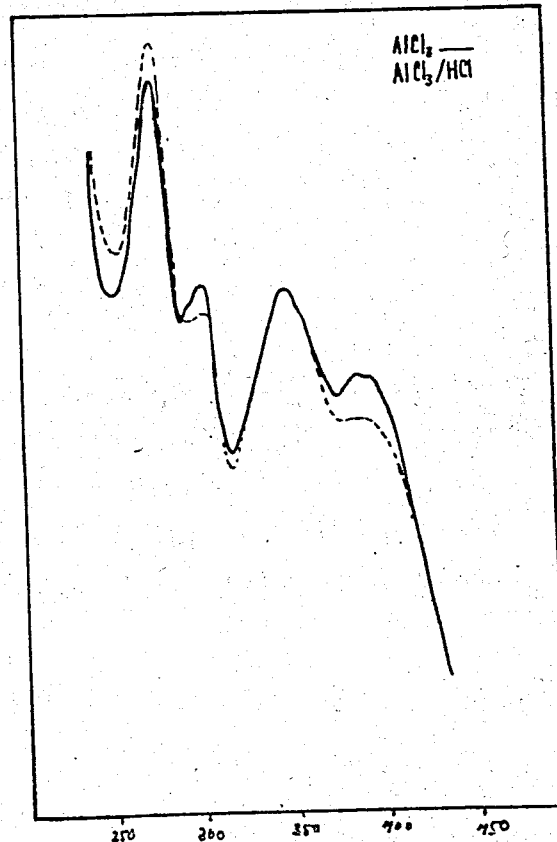
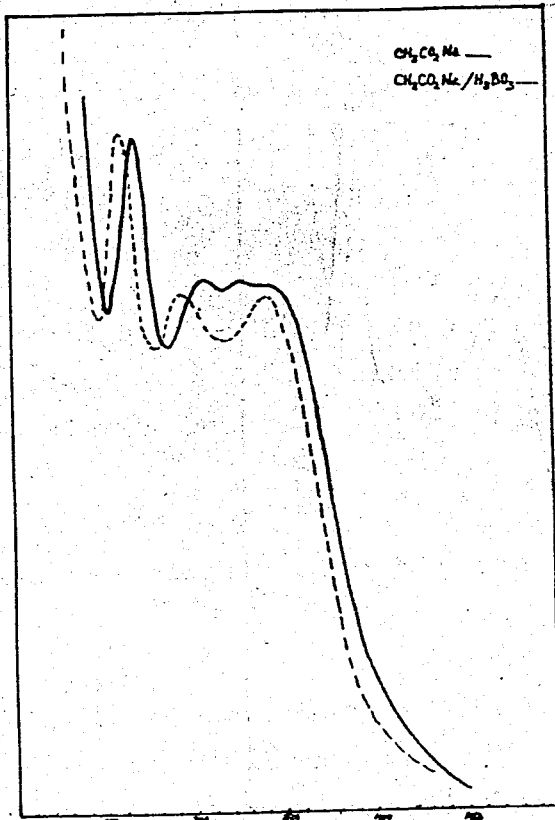
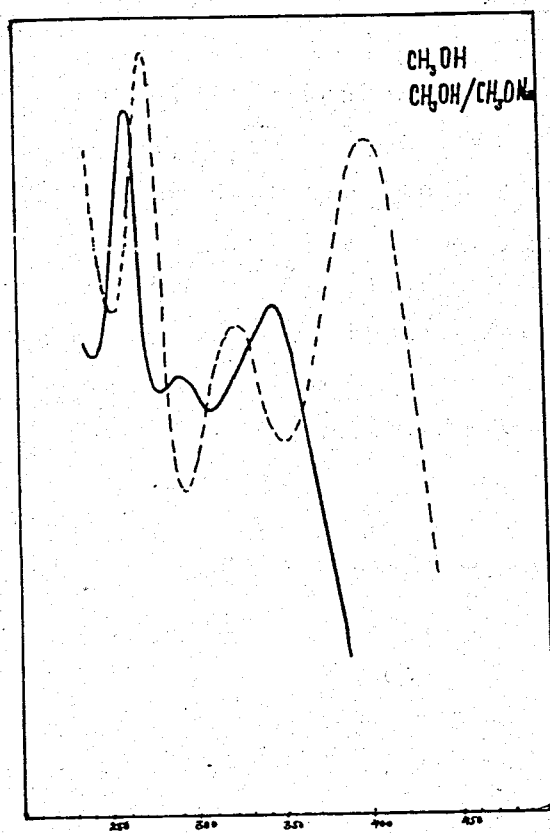
Bileşigin metanol çözeltisinin UV spektrumunda bant I 350 nm'dedir (Şekil 6). Sodyum metoksid ilavesiyle bu bantın 48 nm kayması (398 nm) ve şiddetinin artması serbest 4'-hidroksil grubunun varlığını belirler. Bant II'nin 8 nm kayması (266 nm-274 nm) ve ortaya çıkan bant III (324 nm) ise serbest 7-hidroksili gösterir. Ayrıca metanoldeki çözeltiye sodyum asetat ilavesi ile alınan spektrumda bant I, sodyum metoksid spektrumuna kıyasla daha düşük dalga boyundadır (350 nm). Bu da 7-hidroksilin serbest olduğunu kanıtlar.

o-Dihidroksil gruplarının varlığını belirleyen sodyum asetat/borik asit spektrumunda bant I kayma göstermemiştir (350 nm). Metanol çözeltisine alüminyum klorür ilavesi ile alınan spektrumda 40 nm uzun dalga boyuna kayan bant I (390 nm) seyreltik asit ilavesiyle yerini değiştirmemiştir (390 nm). o-Dihidroksil gruplarının olmadığı kanıtlanmıştır. Alüminyum klorür spektrumundaki 40 nm kayma 3 veya 5 konumlarında serbest hidroksilin varlığını belirler. Bileşigin renk reaksiyonları (Cetvel 2) 3 konumunda serbest hidroksil bulunmasının imkansız olduğunu göstermektedir. 3 konumunda serbest hidroksil B halkası sinnamoyil sisteminin uzun dalga boyuna kaymasına ve bileşigin UV ışıkta mor değil sarı renkte olmasına neden olur.

Bu bulgular sonucu 4,5,7 konumlarında serbest hidroksil olduğu anlaşılmıştır.

### 2.1.3. NMR Spektrumu

Bileşigin tetrametilsilik eteri halinde karbon tetraklorürde alınan NMR spektrumunda (Şekil 7) 3.0-3.6 ppm aralığı



ŞEKİL 6

sında altı protonluk bir şeker multipleti görülmektedir. Şeker C-1 protonu (H-1") sinyali 5.5 ppm'de J değeri 6.0 Hz olan bir dublet halinde görülmektedir.

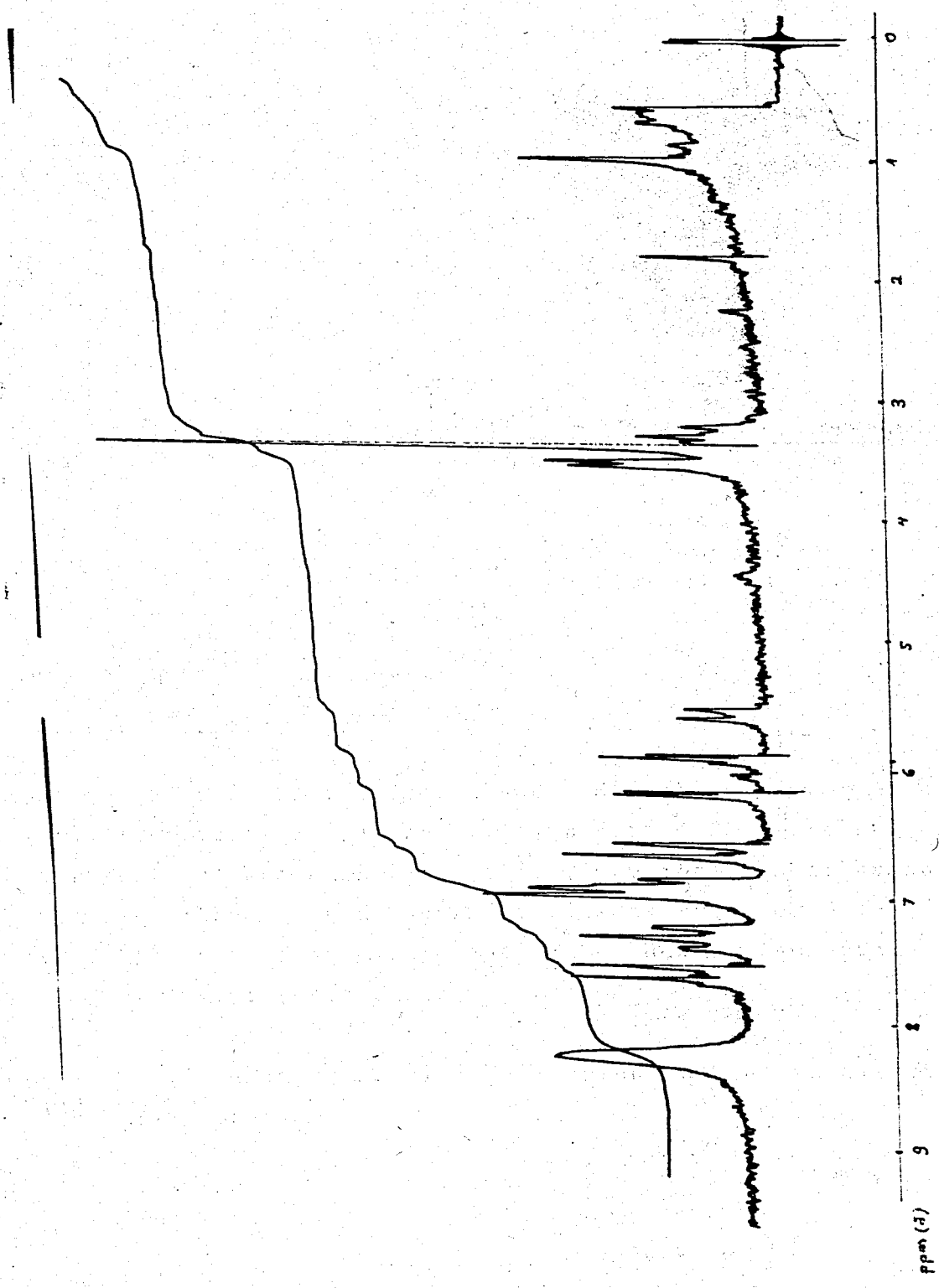
5.85 ve 6.15 ppm de J değerleri 2.5 Hz olan birer protonluk iki dublet sırasıyla A halkası H-6 ve H-8 protonları sinyalidir. 6.6 ve 7.6 ppm de J değerleri 8.5 Hz olan ikişer protonluk iki dublet sırasıyla B halkası 4-3'(5') ve H-2'(6') protonları sinyalidir.

6.3 ppm de flavon C halkası H-3 sinyali olan bir singlet yoktur.

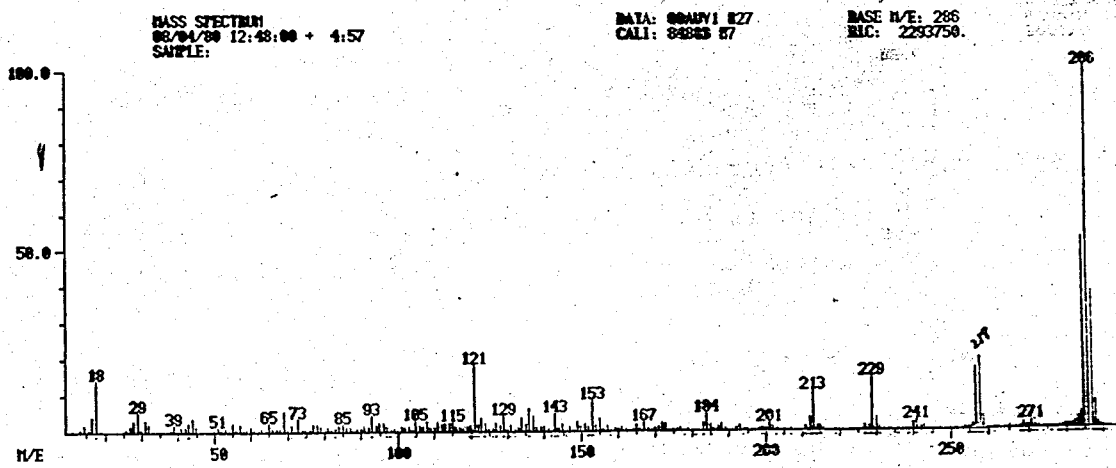
Bu bulgular sonucu 6,8,2',3',5',6' konumlarının substitüe olmadıkları anlaşılmıştır. 5,7 ve 4' konumlarında hidroksil grupları vardır. Şekerlerin bağlı olabileceği tek konum 3 konumudur. Şeker H-1" sinyalinin 5.5 ppm'de çıkması da bu yorumu doğrulamaktadır (5- veya 7-O-glukoz H-1" sinyali 4.8-5.2 ppm'dedir). J değerinin 6.0 Hz olması  $\beta$ -bağlı şeker grubunu göstermektedir (H-1" ve H-2" şeker protonlarının diaksiyal etkileşmesi).

#### 2.1.4. Kütle Spektrumu

Bu yöntem ile elde edilen bilgiler yukarıdakileri kanıtlamaktadır. m/e 286 da aglikon<sup>+</sup> ( $M\text{-şeker}$ )<sup>+</sup> piki spektrumun ana pikidir (Şekil 8). m/e 258 de ( $M\text{-şeker-CO}$ )<sup>+</sup> piki vardır. ( $A+1$ )<sup>+</sup> piki m/e 153'dedir ve A halkasının iki hidroksil grubu taşıdığını göstermektedir (105+16), (Şekil 8).



ŞEKİL 7

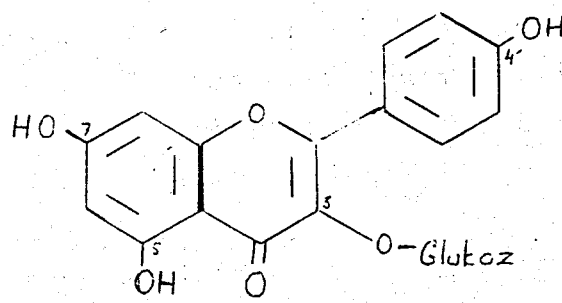


ŞEKİL 8

#### 2.1.5. Hidroliz Sonucu

Bileşik asit hidrolizlendi. Hidroliz ürünleri ince tabaka kromatografisi yöntemiyle standart örneklerle karşılaştırıldı. Aglikonun kamferol ( $4',5,7$ -tetrahidroksiflavonol), şekerin glükoz olduğu saptandı. Bileşik kamferol 3- $\beta$ -D-glukozid ile karşılaştırıldı. Değişik çözücü sistemlerinde aynı  $R_f$  değerlerini gösterdiler.

Bileşigin kamferol 3- $\beta$ -D-glukozid (astragalin)(7) olduğu kanıtlandı.



## 2.2. KAMFEROL 3-O-RUTINOSİD BİLEŞİĞİNİN YAPISININ SAPTANMASI

Bileşik E.larica ve E.chamaesyce bitkilerinde bulundu.

### 2.2.1. Renk Reaksiyonları

Bileşik selüloz ince tabaka plakta ve UV ışık altında mor renktedir. Amonyak buharı veya NA belirteci ile sarı renge dönüşmektedir (Cetvel 2).

### 2.2.2. UV Spektrumu

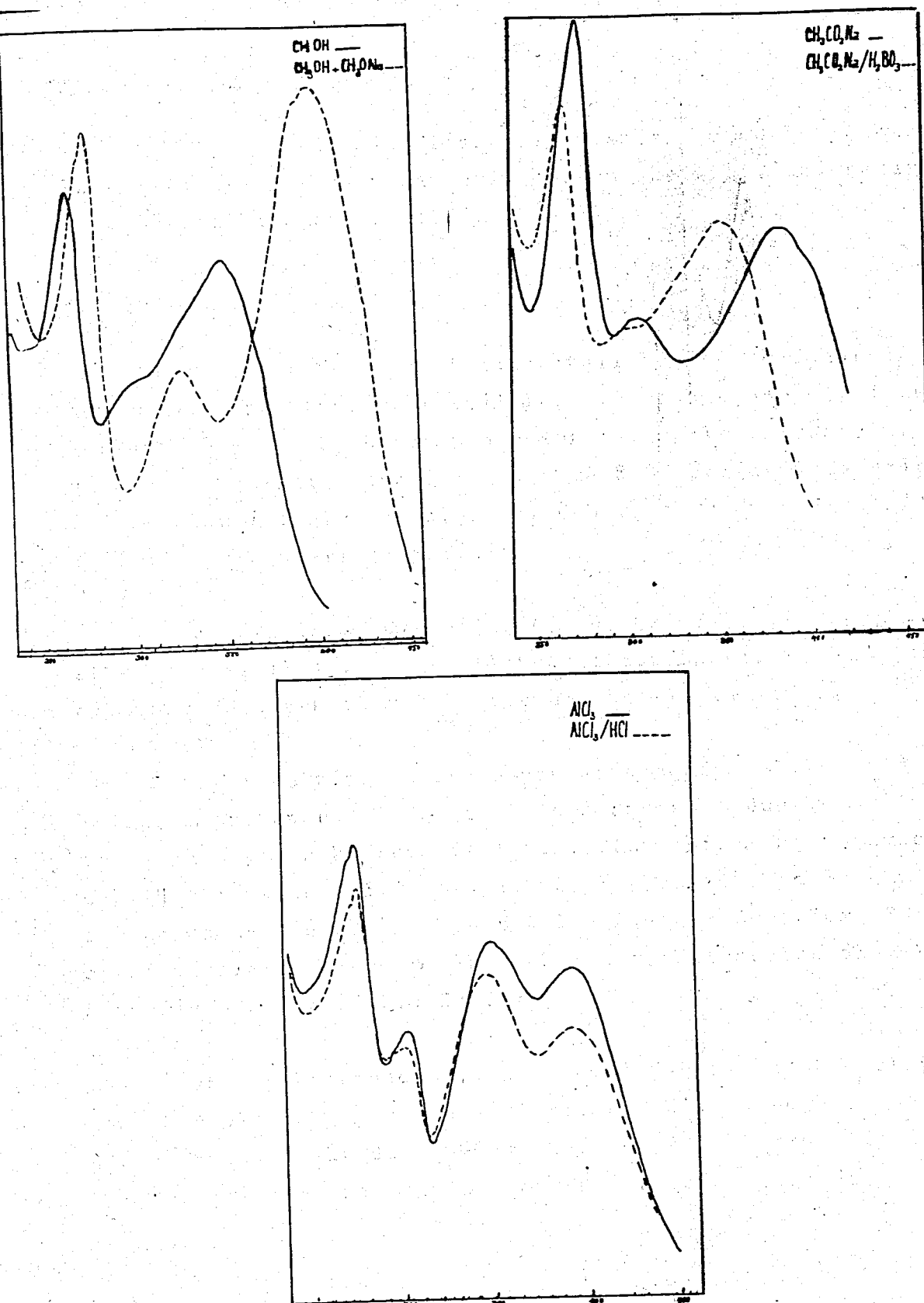
Bileşigin UV spektrumu kamferol 3-O- $\beta$ -D-glukozid ile hemen hemen aynıdır (Şekil 9).

Bileşigin metanol çözeltisinin UV spektrumunda 350 nm de olan bant I in sodyum metoksid ilavesi ile 400 nm e kayması ve şiddetinin artması serbest 4'-hidroksil grubunun varlığını belirler. 324 nm de ortaya çıkan bant III ve bileşigin sodyum asetatlı çözeltisinin spektrumunda bant I' in sodyum metoksidli çözeltiye oranla daha düşük dalga boyunda olması (386 nm) serbest 7-hidroksilin varlığını gösterir.

Metanol çözeltisine sodyum asetat/borik asit ilavesi ile bant I de kayma olmamıştır. Metanol çözeltisine aluminyum klorür ilavesi ile bant I 390 nm e kaymıştır. Bu bant seyreltik asit ilavesi ile yer değiştirmemiştir. Bu bilgilere göre bileşikte o-dihidroksil grupları yoktur.

Aluminyum klorür ile alınan spektrumda bant I in 40 nm kaymış olması, bileşikte serbest 3 veya 5 hidroksil grubu olduğunu göstermektedir. Bileşigin UV ışıkta mor renkte olması 3-hidroksilin bulunmadığını gösterir (Cetvel 2).

UV spektrumu bileşigin 4',5,7 konumlarında serbest hidroksil taşıdığını belirlemektedir.



ŞEKİL 9

### 2.2.3. Hidroliz Sonucu

Bileşik asit hidrolizlendi. Standart örneklerle karşılaştırılarak aglikonun kamferol olduğu saptandı. İki şeker, ramnoz ve glükoz elde edildi.

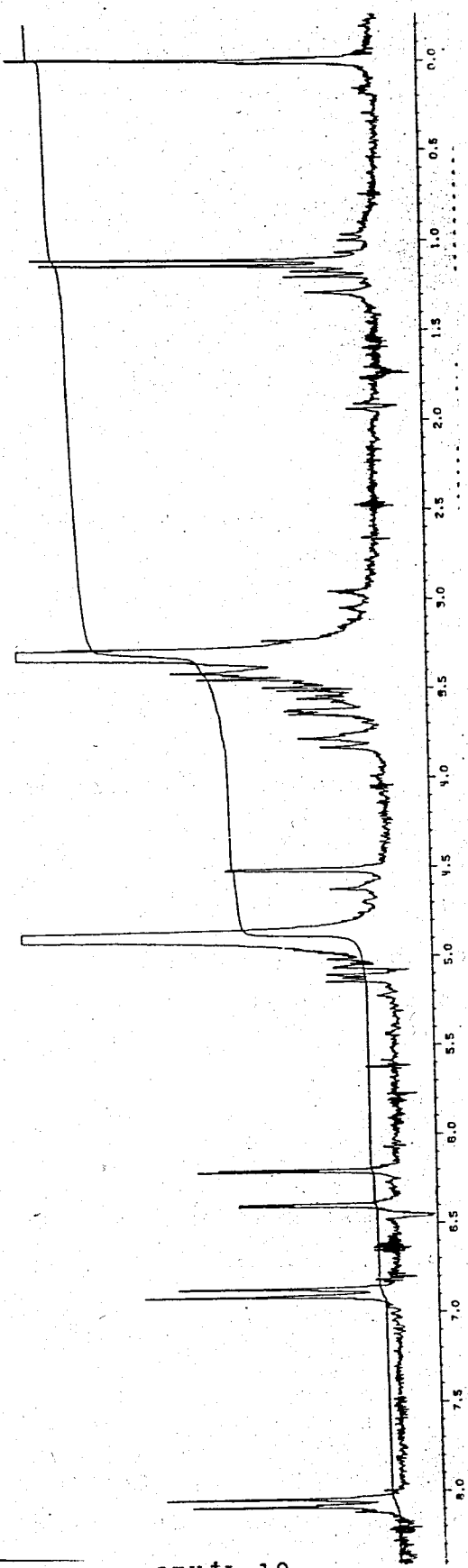
### 2.2.4. NMR Spektrumu

Bileşigin tetrametilsilik eteri halinde metanol-d<sub>4</sub> de alınan NMR spektrumunda (Şekil 10) 6.2 ve 6.4 ppm de, J değerleri 2.5 Hz olan, birer protonluk iki dublet sırasıyla, H-6 ve H-8 protonları sinyalidir. 6.9 ve 8.05 ppm de J değerleri 8.5 Hz olan ikişer protonluk iki dublet sırasıyla H-3'(5') ve H-2'(6') protonları sinyalidir.

Bu bulgulara göre bileşigin 6,8,2',3',5',6' konumları sübstítüe değildir. 4',5 ve 7 konumlarında serbest hidroksil olduğuna göre şekerler 3 konumundan bağlı olmalıdır.

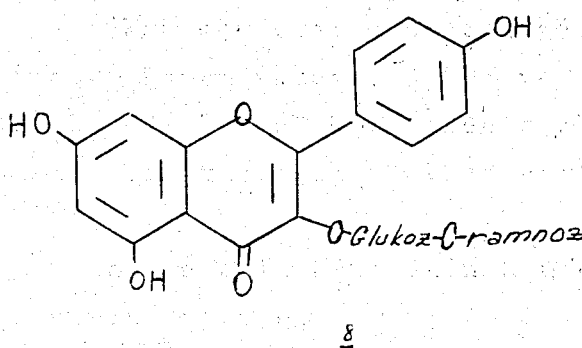
Şeker multipleti 3-3.9 ppm arasındadır. 1.1 ppm de görülen, 3 protonluk, J değeri 5 Hz olan metil dubleti ramnoz metil grubu için karakteristiktir. Flavonoide bağlı ramnoz C-1 (H-1") protonu 5.0-5.1 ppm de, glukoza 6" konumundan bağlı ramnoz C-1 (H-1") protonu 4.2 - 4.4 ppm de çıkar. Ramnoz, doğal ürünlerde α-bağılı olarak bulunur. Bir dublet olan H-1" sinyalinin J değeri 2,5 Hz dir.

NMR spektrumunda 4.5 ppm de, J değeri düşük, tek protonluk dublet H-1" sinyali olmalıdır. Glukoza bağlı ramnoz grubunu göstermektedir. 3-O-glukoz C-1 (H-1") sinyali, iyice belirgin olmamasına rağmen 5.65 ppm de görülmektedir.



SEKİL 10

Yukarıdaki bulgulara dayanarak bileşigin kamferol 3-O-rutinosid, (kamferol 3- $\beta$ -O-glukoz- $\alpha$ -O-ramnoz) (8) olduğu belirlendi.



8

### 2.3. KAMFEROL 3-O-DİGLUKOZİD BİLEŞİĞİNİN YAPISININ SAPTANMASI

Bileşik E.larica bitkisinde bulundu.

#### 2.3.1. Renk Reaksiyonları

Selüloz ince tabaka plakta, UV ışıkla mor renkli olan bileşik amonyak buharı veya NA belirteci ile sarı renge dönüşmektedir.

#### 2.3.2. UV Spektrumu

UV spektrumu yukarıda incelenen kamferol 3-O- $\beta$ -D-glukozid spektrumu ile aynıdır. Bu bakımdan burada tekrar incelenmemiştir.

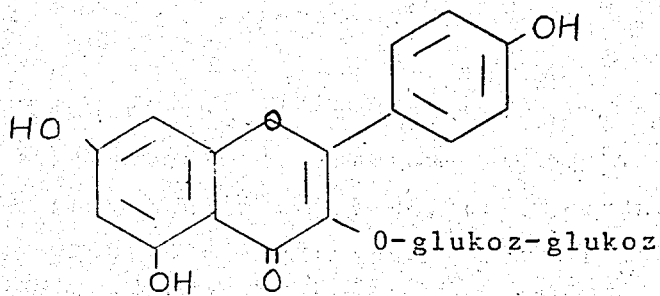
#### 2.3.3. Hidroliz Sonucu

Bileşik asit hidrolizlendi. Ince tabaka kromatografisi yöntemiyle standart örneklerle karşılaştırılarak aglikonun

kamferol, şekerin glükoz olduğu saptandı. Bunun üzerine bilesik ince tabaka plakta kamferol 3-O- $\beta$ -D-glukozid ile karşılaştırıldı. R<sub>f</sub> değerleri aynı çıkmadı. % 15 asetik asid sisteminde bilinmeyen bileşigin R<sub>f</sub> değeri daha yüksektir (Cetvel 4). Bu nedenle bileşigin bir diglukoz olduğu düşünüldü.

Aglikon kamferol olduğuna göre şekerin bağlı olabileceği dört konum vardır. 3, 5, 7 ve 4'. Bileşigin UV spektrumu, 2.1.2 ve 2.2.2 bölgelerinde açıklandığı gibi 5, 7 ve 4'-hidroksillerin varlığını açıkça belli etmektedir.

Bu nedenlerle bileşigin kamferol 3-O-diglukozid(9) olduğu kanısına varıldı.



9

#### 2.4. KAMFEROL BİLEŞİĞİNİN YAPISININ SAPTANMASI

Bileşik E.virgata ve E.magalantha bitkilerinde bulundu.

##### 2.4.1. Renk Reaksiyonları

Selüloz ince tabaka plakta, UV ışıkta, sarı renkli olan bileşik, amonyak buharı veya NA belirteci ile renk değişirmemektedir. Bileşikte serbest 3 ve 5-hidroksil grupları

olduğu anlaşılmaktadır.

#### 2.4.2. UV Spektrumu

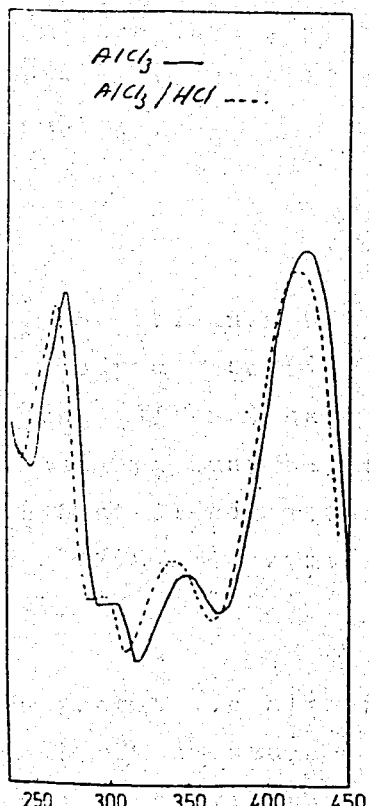
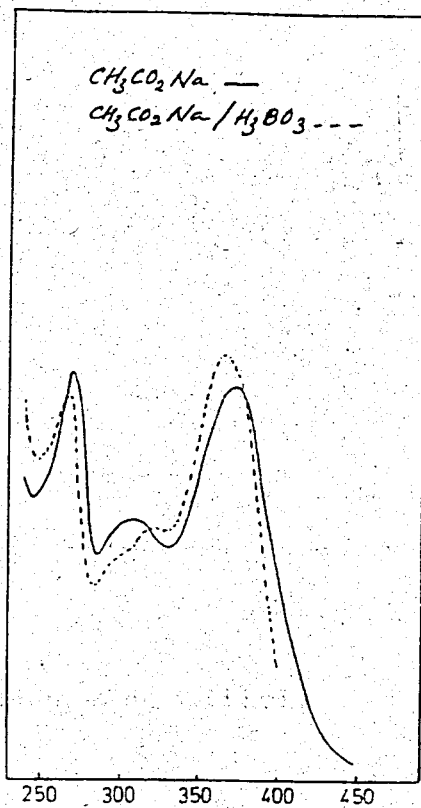
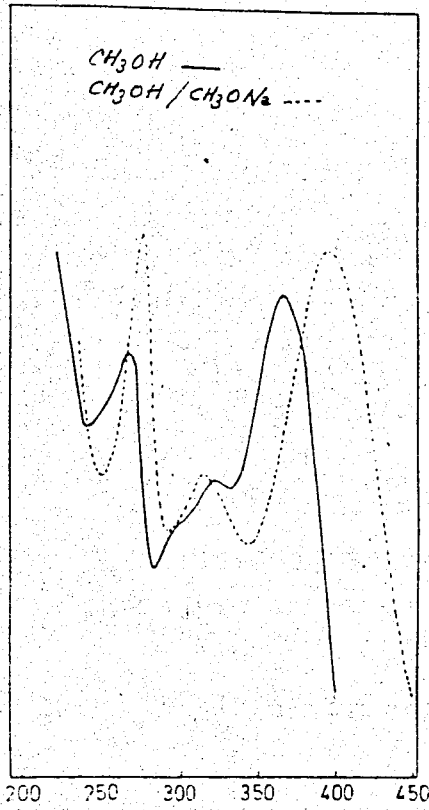
Bileşigin metanolde çözeltisinin UV spektrumunda bant I 365 nm dedir (Şekil 11). Bileşigin bir flavonol (serbest 3-hidroksil) olduğunu belirlemektedir. Sodyum metoksid ilavesiyle bu bantın 31 nm uzun dalga boyuna kayması (396 nm) ve şiddetinin artması serbest 4'-hidroksili belirler. Ayrıca, 312 nm'de ortaya çıkan bant III serbest 7-hidroksilin varlığını gösterir. Sodyum asetat spektrumunda bant I'in (373 nm), sodyum metoksid spektrumuna oranla daha düşük dalga boyunda olması da serbest 7-hidroksilin varlığını kanıtlar.

Metanol çözeltisine sodyum asetat/borik asit ilavesiyle bant I yer değiştirmemiştir (366 nm). Bileşikte o-dihidroksil grupları yoktur. Aluminyum klorür spektrumunda ve aluminyum klorür/seyreltik asit spektrumunda bant I in aynı dalga boyunda olması (398 nm) da bu bulguyu kanıtlar.

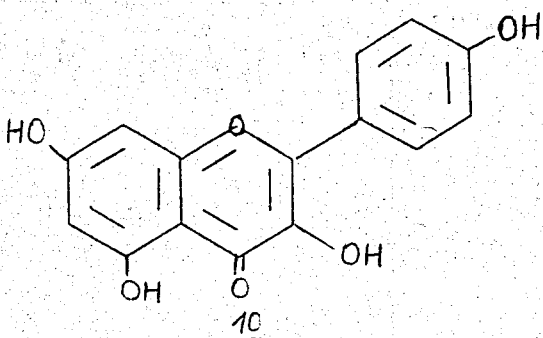
Aluminyum klorür/seyreltik asit spektrumunda bant I in metanol çözeltisi spektrumuna oranla 33 nm daha uzun dalga boyunda olması serbest 3 veya 5-hidroksil grubunun varlığını kanıtlar.

Bu bulgulara göre bileşik 4',3,5,7 konumlarında serbest hidroksil grubu taşımaktadır.

Bileşigin bulunduğu her iki bitkide de kamferol 3-O-glukozid bulunduğu ve UV spektrumu kamferol spektrumuna benzettiği için bileşigin kamferol olabileceği düşünüldü. Bileşik selüloz ince tabaka plakta, değişik çözücü sistemlerinde standart kamferol ile karşılaştırıldı ve aynı madde oldukları kanıtlandı(10).



ŞEKİL 11



## 2.5. KERSETİN 3-O-DİGLUKOZİD BİLEŞİĞİNİN YAPISININ SAPTANMASI

Bileşik E.virgata bitkisinden elde edildi.

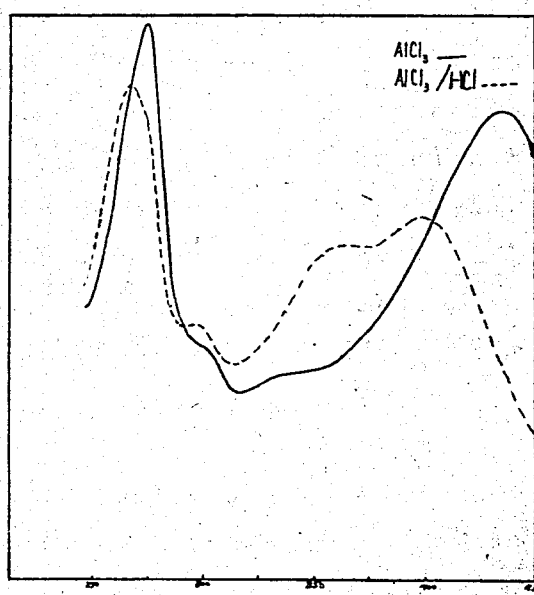
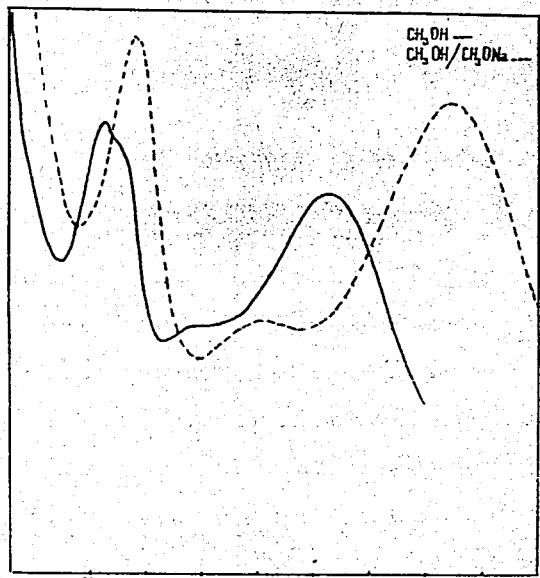
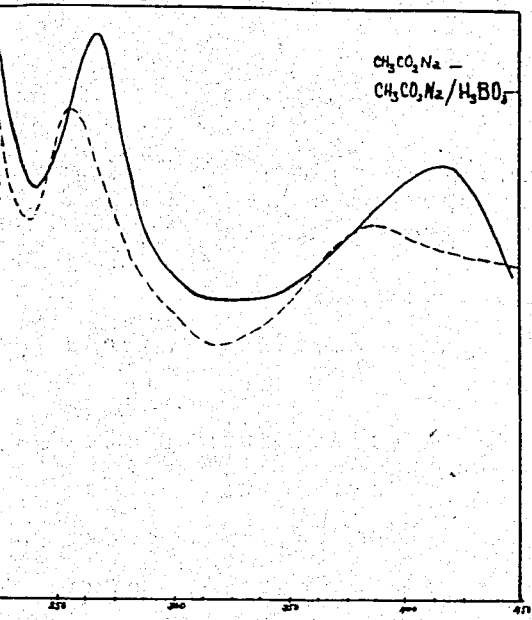
### 2.5.1. Renk Reaksiyonları

UV ışıkta, selüloz ince tabaka plakta mor renkli olan bileşik amonyak buharı ile sarı, NA belirteci ile turuncu renge dönüşmektedir (Cetvel 2).

### 2.5.2. UV Spektrumu

Bileşığın metanol çözeltisinin UV spektrumunda bant I 355 nm dedir (Şekil 12). Sodyum metoksid ilavesi ile bu bantın 56 nm uzun dalga boyuna (411 nm) kayması ve şiddetinin artması serbest 4'-hidroksil grubunu belirler. Yine bu çözeltide 327 nm deki omuz ve bant II nin metanol çözeltisine kıyasla daha uzun dalga boyuna (270 nm) kaymış olması 7-hidroksilin serbest olduğunu gösterir.

Borik asit/sodyum asetat ile alınan spektrumda bant I in metanol spektrumuna kıyasla 30 nm uzundalga boyuna kaymış olması (385 nm) o-dihidroksi gruplarının varlığını gösterir.



SEKİL 12

Aluminyum klorür ile alınan spektrumda 432 nm'de çıkan bant I, seyreltik asit ilavesi ile 400 nm'e düşmüştür. Bozulan bir aluminyum ve o-dihidroksil kompleksi bellidir ve o-dihidroksi gruplarının varlığı kanıtlanmıştır.

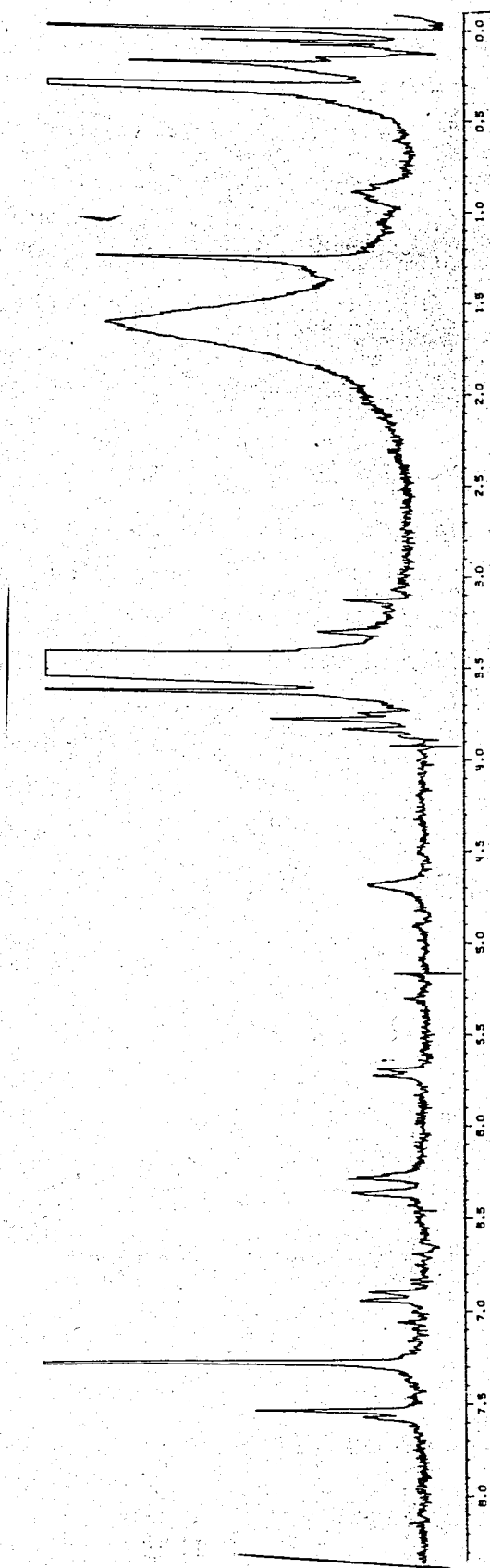
Aluminyum klorür/seyreltik asit spektrumunda bant I'in metanol çözeltisi spektrumuna kıyasla 45 nm daha uzun dalga boyunda olması 5-hidroksilin serbest olduğunu gösterir.

Bu bulgular sonucu maddenin 4',5,7 hidroksil grupları taşıdığı anlaşılmıştır. Ayrıca, o-dihidroksil olabilmesi için ya 3',4'-dihidroksil veya 5,6,7-trihidroksil veya 7,8-dihidroksil grupları taşımı gereklidir. 5,6,7-trihidroksil grupları, sodyum asetat ile alınan spektrumun zamanla bozunmasına sebep olur. Bu gözlenmemiştir. Bileşigin NA belirteci ile turuncu renge dönüşmesi 3',4'-dihidroksil gruplarını belirler (Cetvel 2).

### 2.5.3. NMR Spektrumu

Bileşigin tetrametilsilik eteri halinde kloroform- $d_1$  de alınan NMR spektrumunda (Şekil 13) 3.1-3.9 ppm de şeker protonları sinyali görülmektedir. Proton sayısı spektrumdan anlaşılamamıştır. 4.7 ppm de, bir protonluk, bir dublet veya multiplet, 5.72 ppm de J değeri 6 Hz olan bir protonluk bir dublet görülmektedir. 5.72 ppm'deki sinyal, 3-O- $\beta$ -glükoz C-1 ( $H-1''$ ) sinyalidir. 4.7 ppm'deki sinyal glükoza bağlı bir ikinçi şeker grubunun varlığını göstermektedir. Flavonoid halkasının konjuge sistemine bağlı olmadığı için  $H-1''$  protonu sinyali daha yukarı sahada çıkmıştır.

6.27 ve 6.35 ppm'de J değerleri 2.5 Hz civarında olan birer protonluk iki dublet A halkası H-6 ve H-8 protonları sinyalidir. 6.9 ppm'deki J değeri 8.40 Hz olan tek protonluk dublet B halkası H-5' protonu sinyali ve 7.55 ppm deki J de-



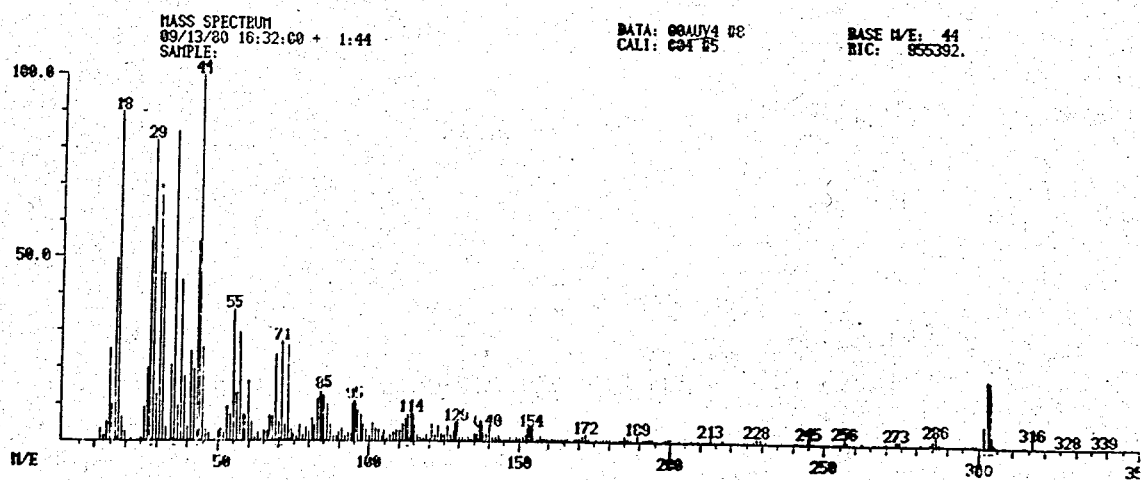
SEKİL 13

geri 8.40 Hz olan dublet B halkası H-6' protonu sinyalidir. 7.55 ppm deki sinyal iki protona tekabül etmektedir ve H-2' sinyalinin H-6' sinyalinin altında kaldığını gösterir.

Bu bulgular sonucu bileşigin 6,8,2',5',6' konumlarının sübstidue olmadığı, 3 konumunda iki şeker bağlı olduğu anlaşılmıştır. o-Dihidroksil gruplarının 3',4' konumlarından bağlı oldukları belli olmuştur.

#### 2.5.4. Kütle Spektrumu

Kütle spektrumu yukarıdaki bulguları kanıtlamaktadır. m/e 302 de görülen ana pik ( $M\text{-şeker}$ )<sup>+</sup> pikidir. m/e 153 de ( $A_1 + 1$ )<sup>+</sup> piki A halkasında iki hidroksil grubu olduğunu gösterir: (120+16+16+1). m/e 137 deki  $B_2^+$  piki B halkasında iki hidroksil grubu olduğunu belirler: (105+16+16) (Şekil 14).

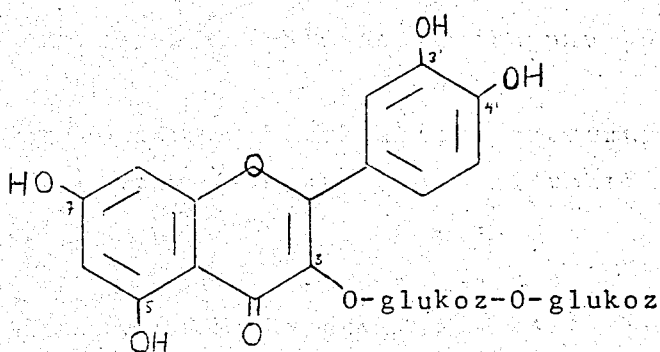


ŞEKİL 14

### 2.5.5. Hidroliz Sonucu

Bileşik asit hidrolizlendi. Elde edilen aglikon ve şeker standart örnekler ile karşılaştırıldı. Aglikonun kersetin ( $3',4',5,7$ -tetra hidroksiflavonol), şekerin glükoz olduğu anlaşıldı.

Bu bilgiler sonucu bileşigin kersetin  $3$ - $\beta$ -diglükozid (11) olduğu kanıtlandı.



11

### 2.6. KERSETİN $3$ - $\beta$ -D-GLUKOZİD BİLEŞİĞİNİN YAPISININ SAPTANMASI

Bileşik *E.chamaesyce* ve *E.magalantha* bitkilerinde bulundu.

#### 2.6.1. Renk Reaksiyonları

Selüloz ince tabaka plakta, UV ışıkta mor renkte olan

bileşik, amonyak buharı ile sarı, NA belirteci ile turuncu renge dönüştürmektedir.

#### 2.6.2. UV Spektrumu

Bileşigin metanolde çözeltisinin UV spektrumunda bant I 357 nm dedir (Şekil 15). Bu bantın sodyum metoksid ilavesiyle 49 nm uzun dalga boyuna kayması (406 nm) ve şiddetinin artması serbest 4'-hidroksili belirler. 325 nm de ortaya çıkan bant III ve sodyum metoksid spektrumuna oranla sodyum asetat spektrumunda bant I in daha düşük dalga boyunda olması (375 nm) serbest 7-hidroksil grubunu gösterir.

Sodyum asetat/borik asit spektrumunda bant I 18 nm uzun dalga boyuna kaymıştır. o-Dihidroksil grupları bulunduğu bellidir.

Aluminyum klorür/seyreltik asit spektrumunda bant I in metanol spektrumuna oranla 45 nm kaymış olması serbest 5-hidroksilin varlığını belirlemektedir.

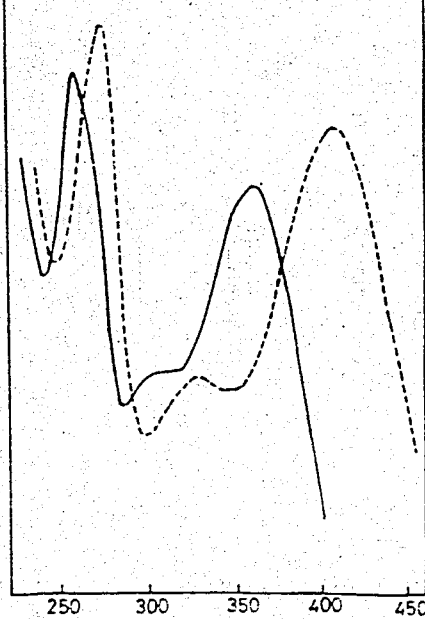
Yukarıdaki bulgular bileşikte 4',5 ve 7-hidroksil gruplarının varlığını ve o-dihidroksil grupları bulunduğu göstergemiştir.

#### 2.6.3. Hidroliz Sonucu

Bileşik asit hidrolizlendi. Aglikonun kersetin, şekerin glukoz olduğu saptandı. Kersetin 3-O- $\beta$ -glukozid en yaygın kersetin glikozidi olduğu için, bileşik değişik çözücü sistemlerinde ince tabaka kromatografisi yöntemiyle, standart örnekle karşılaştırıldı.

Bileşigin kersetin 3-O- $\beta$ -glukozid (3',4',5,7-tetrahidroksiflavonol 3-O- $\beta$ -glukozid)(12) olduğu saptandı.

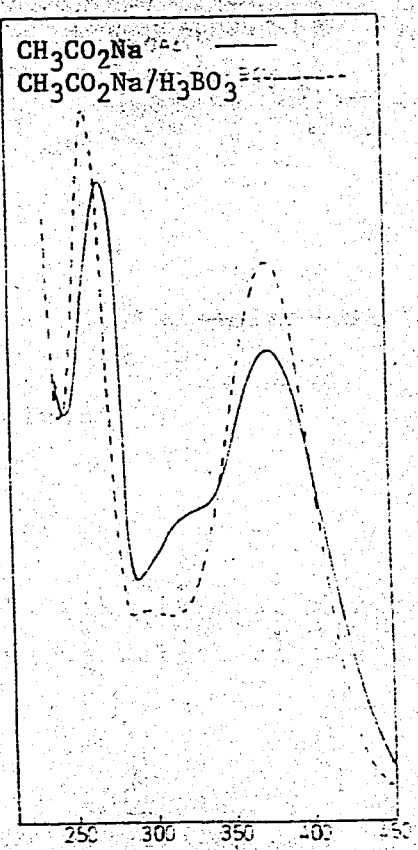
$\text{CH}_3\text{OH}$  —  
 $\text{CH}_3\text{OH}/\text{CH}_3\text{ONa}$  -----



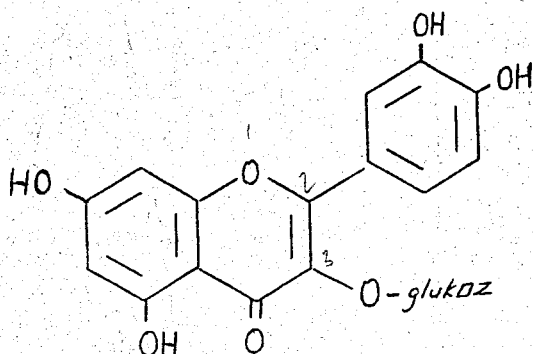
$\text{AlCl}_3$  —  
 $\text{AlCl}_3/\text{HCl}$  -----



$\text{CH}_3\text{CO}_2\text{Na}$  —  
 $\text{CH}_3\text{CO}_2\text{Na}/\text{H}_3\text{BO}_3$  -----



SEKİL 15



(12)

## 2.7. 6- METOKSİAPİGENİN BİLEŞİĞİNİN YAPISININ SAPTANMASI

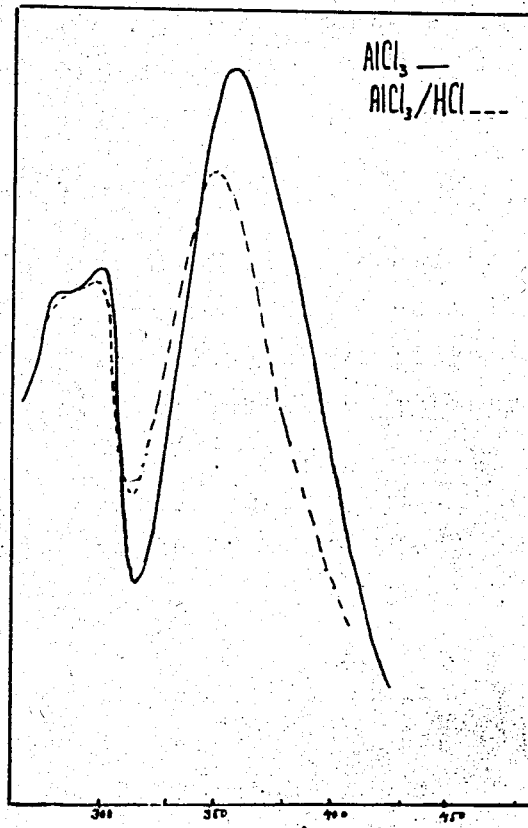
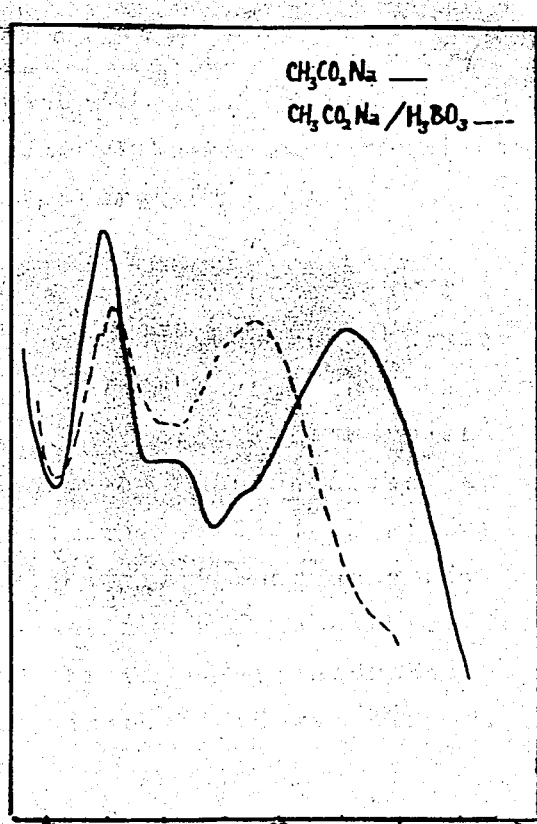
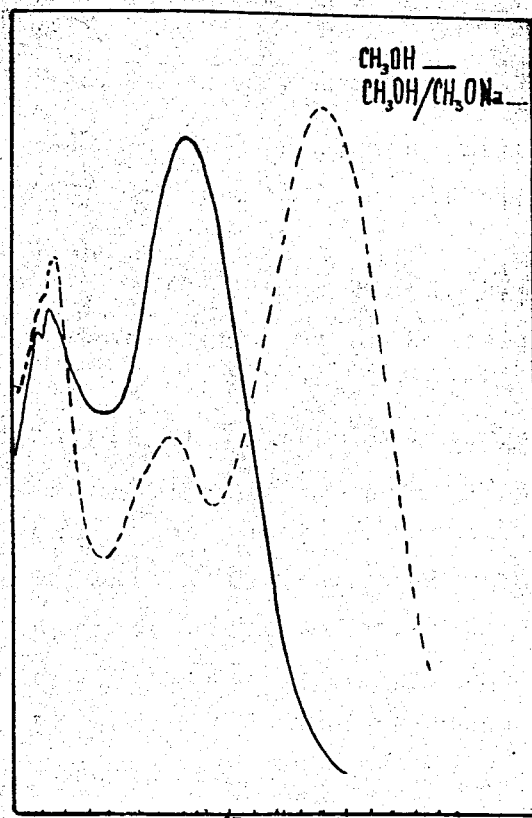
Bileşik E.larica bitkisinde bulundu.

### 2.7.1. Renk Reaksiyonları

Selüloz ince tabaka plakta, UV ışık altında, mor renkte görülen bileşik amonyak buharı veya NA Belirteci ile renk değiştirmemektedir.

### 2.7.2. UV Spektrumu

Bileşigin metanolde çözeltisinin UV spektrümunda 335 nm de görülen bant I, çözeltiye sodyum metoksid ilavesi ile 383 nm e kaymıştır ve şiddeti artmıştır (serbest 4'-hidroksil) (Şekil 16). Ayrıca, 325 nm de bant III ortaya çıkmıştır (Serbest 7-hidroksil). Metanol çözeltisine sodyum asetat ilave siyle elde edilen spektrumda ise bant I 378 nm'dedir ve sodyum metoksid spektrumuna kıyasla daha düşük dalga boyundadır (Serbest 7 hidroksil).



ŞEKİL 16

o-Dihidroksil gruplarını saptamak için borik asit/sodyum asetat ile alınan spektrumda bant I kayma göstermemiştir (335 nm). o-Dihidroksil grupları yoktur.

Aluminyum klorür/seyreltik asit spektrumunda bant I metanol spektrumuna kıyasla 15 nm uzun dalga boyuna kaymıştır (350 nm). Yukardaki yapı tayinlerinde bant I in 35-55 nm kaymasını 5-hidroksilin varlığına kanıt olarak göstermiştik. Bant I in 17-20 nm kaydığı durumlarda 6- konumunda oksijen bağlı olabileceği literatürde belirtilmiştir(56). Elimizdeki bileşik için de aynı durum düşünülebilir. 6 konumunda bir serbest hidroksil olsaydı, borik asit ile alınan spektrumda o-dihidroksil grupları belli olacaktı (5,6,7-trihidroksil). Bu nedenle 6 konumundan bağlı bir hidroksil türevi olanağı vardır.

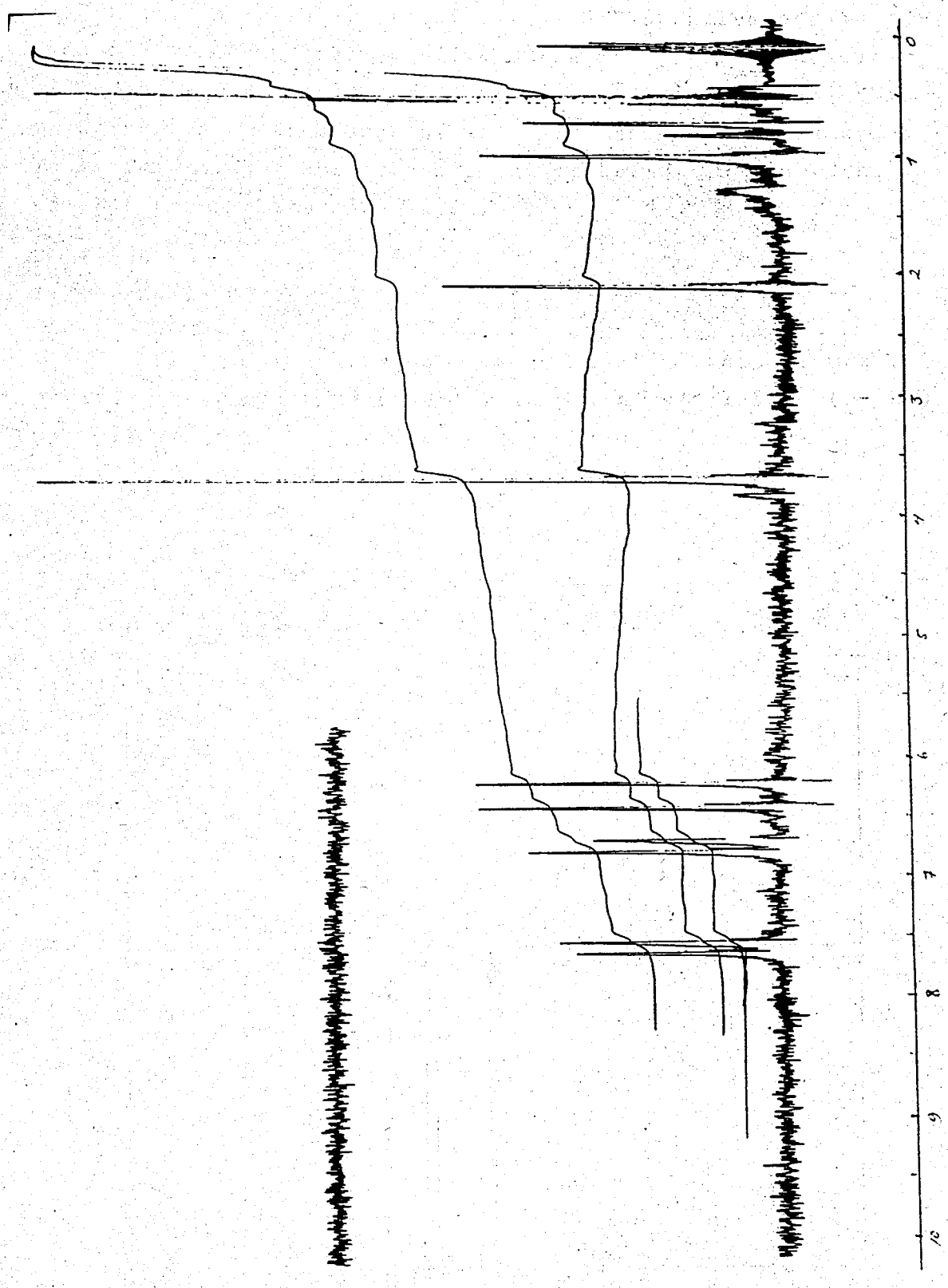
Bu bulgular sonucu bileşikte 4',5,7 konumlarında serbest hidroksil grupları, 6 konumunda bir hidroksil türevi olduğu düşünülmektedir.

#### 2.7.3. NMR Spektrumu

Bileşigin tetrametilsilik eteri halinde karbon tetraklorürde alınan NMR spektrumunda (Şekil 17) 3-4 ppm arası şeker protonları yoktur. Bileşik bir glikozid değildir. 3.7 ppm de görülen metil singleti metoksi grubunun varlığını belirler.

6.9 ve 7.7 ppm de J değerleri 7.5 Hz olan ikişer protonluk, iki dublet H-3'(5') ve H-2'(6') protonları sinyalidir.

2',3',5',6' sübstitüe olmadığına ve 4',5,7 de hidroksil olduğuna göre metoksi grubunun bağlı olabileceği üç konum kalmaktadır: 3,6 ve 8. 3-metoksil olsa, 6 ve 8 protonları 5.7-6.9 ppm bölgesinde J değerleri 2.5 Hz olan çok belirgin iki

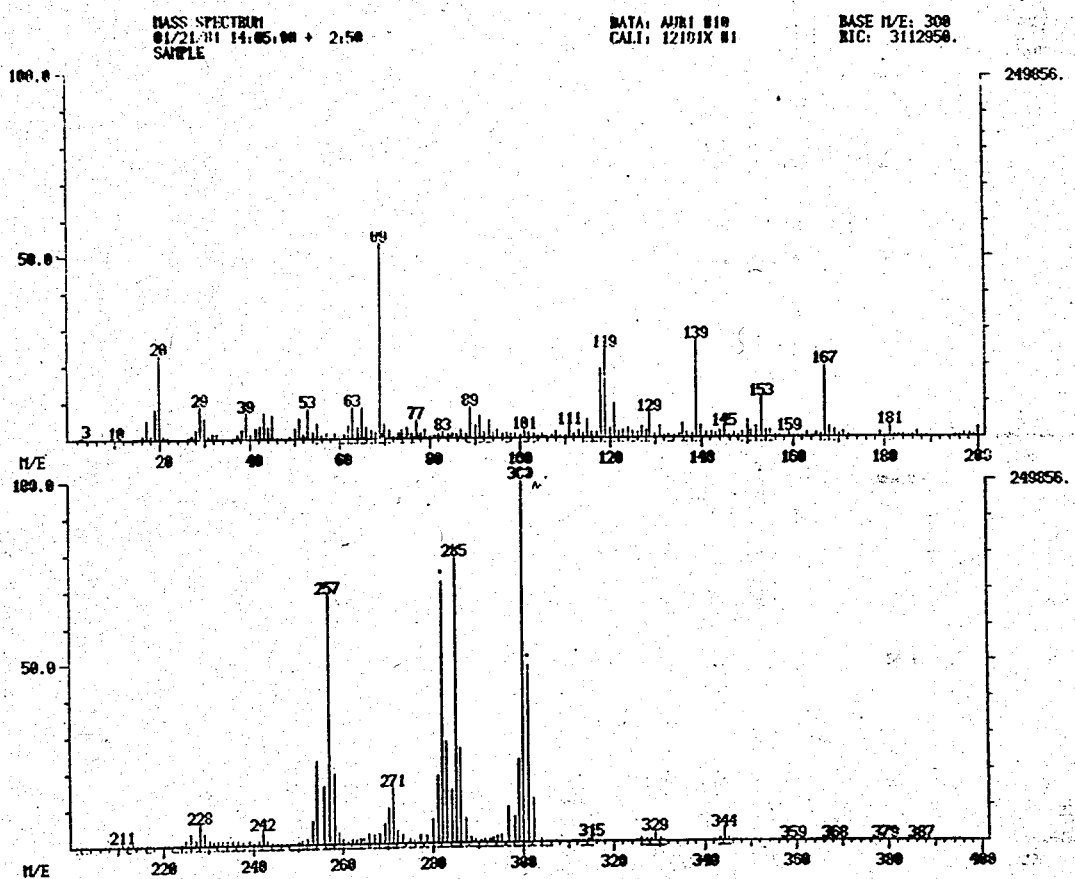


ŞEKİL 17

dublet halinde görülürler. Bileşigin NMR spektrumunda bu sahada iki singlet görülmektedir: 3 konumu sübstitüe değildir. H-3 sinyali 6.35 ppm'dedir. Yukarıda belirtildiği gibi UV spektrumundan 6 konumunda bir oksijen bağı olması gerektiği anlaşılmıştı. NMR spektrumunda geriye kalan 6.55 ppm deki singlet H-8 protonu sinyalidir.

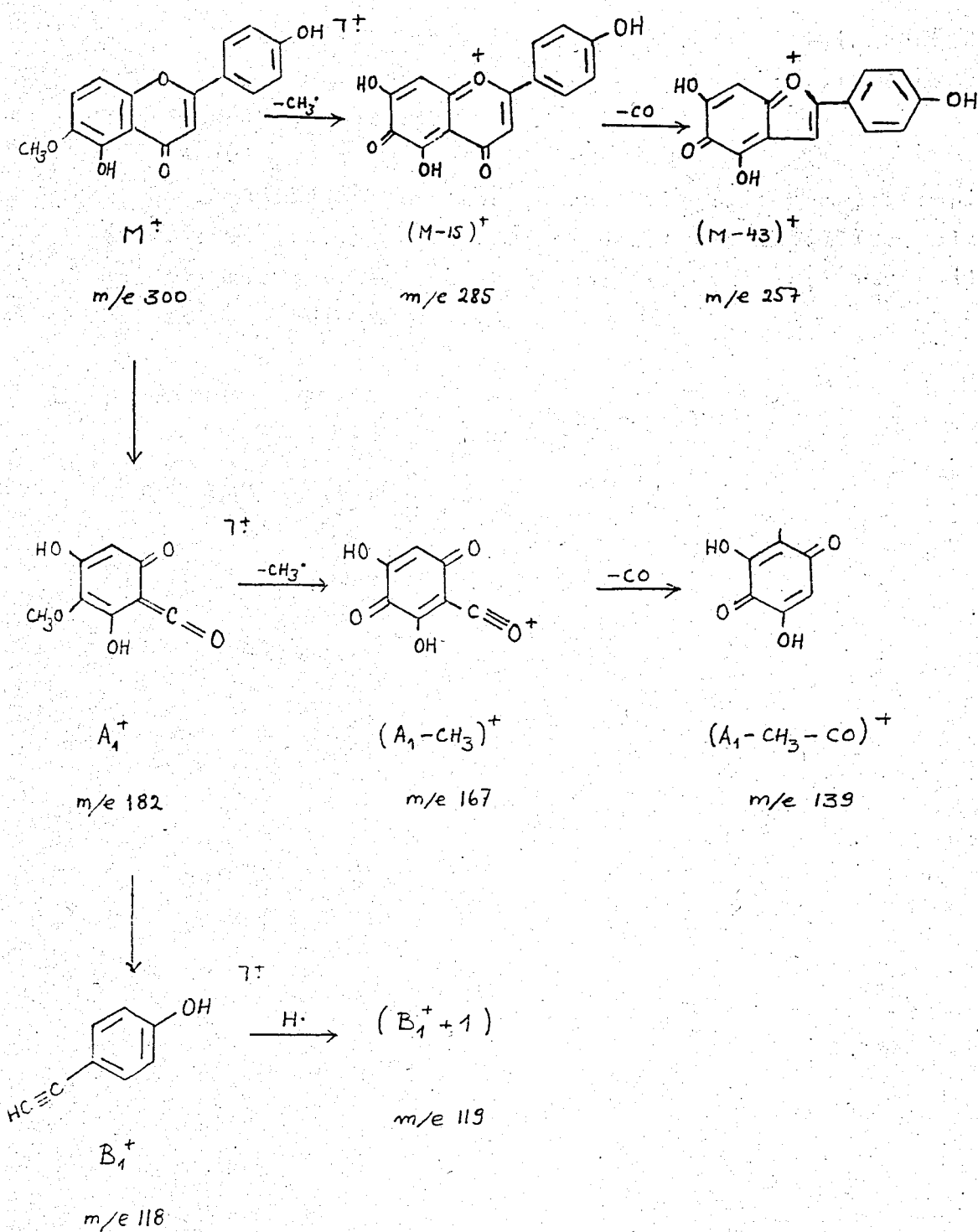
#### 2.7.4. Kütle Spektrumu

Ana pik aynı zamanda moleküler iyon pikidir ve m/e 300 dendir. Spektrumdaki diğer belirgin pikler m/e 285 de ( $M-\text{CH}_3$ )<sup>+</sup>, m/e 271 de ( $M-\text{CO}$ )<sup>+</sup>, m/e 257 de ( $M-\text{CH}_3-\text{CO}$ )<sup>+</sup>, m/e 167 de ( $\text{A}_1^+ - \text{CH}_3$ ), m/e 139 da ( $\text{A}_1^+ - \text{CH}_3 - \text{CO}$ ), m/e 119 da ( $\text{B}_1^++1$ ) pikleridir (Şekil 18).



### Sekil 18

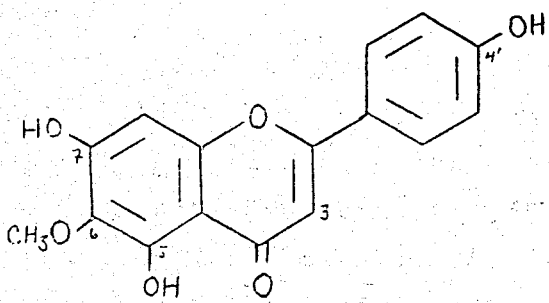
Bileşigin parçalanma yolu ve ürünlerini Şekil 19'da gösterilmiştir.



ŞEKİL 19

Bileşik selüloz ince tabaka plakta değişik çözücü sistemlerinde 6-metoksiapigenin ile karşılaştırıldı. Aynı  $R_f$  değerleri olduğu görüldü.

Yukarıdaki bilgiler sonucu bileşigin 6-metoksiapigenin (hispidulin; 4',5,7-trihidroksi-6-metoksiflavon) (13) olduğu kanıtlanmıştır. Bu bileşik Euphorbia bitki türlerinde ilk defa E.larica'da bulunmuştur.



13

## SONUC

Bu çalışmada incelenen dört bitki türünden yedi değişik flavonoid bileşik elde edilmiştir. Bazı bileşiklerin birkaç bitkiden elde edilmiş olması ve bileşikler arasındaki benzerlikler, incelenen bitkiler arasındaki yakın akrabalığı yansımaktadır. Cetvel 1'de görüldüğü gibi Euphorbia bitki türlerinde birer flavonol olan kamferol ve kersetin türevleri hakimdir.

Flavonol türevleri dışında bir de flavon türevi, 6-metoksiapigenin elde edilmiştir. Bu bileşik Euphorbia bitki türlerinde ilk defa E.larica bitkisinde bulunmuştur. Metoksi flavonların bilinen antitümör etkileri(52,53) nedeniyle, bu çalışmanın kapsamı dışında kalmakla beraber, ilerde bu bileşigin ve E.larica bitki ekstresinin farmakolojik etkinliği saptanmalıdır.

### 3. DENEYSEL BÖLÜM

#### 3.1. GENEL TEKNİKLER

##### 3.1.1. Kromatografi

###### 3.1.1.1. Sütun Kromatografisi

Adsorban olarak poliklar (Polyclar, polivinil pirolidin, General Aniline and Film Corp.) ve Sephadex LH-20 (Parçacık büyüğlüğü 25-100  $\mu$ , Pharmacia Fine Chemicals Co.) kullanıldı.

Poliklar tozu Egger çözücü sisteminde (kloroform/etanol/aseton, 4:2:0.5(57)) 16 saat bekletildi. Şişmesi sağlandı. Sonra bu süspansiyon iyice çalkalanarak ucu musluklu bir cam sütuna aktarıldı. Devamlı çözücü eklenerek 16 saat akitildi. Adsorban yerleşti. Bitki ekstreleri çözülüp ağırlıkları kadar poliklar tozu ile karıştırılarak tekrar kurtuldular. Toz haline getirilerek bu süspansiyonun üzerine yerleştirildiler.

Sütunlar önce Egger çözücü sistemi ile elüe edildiler. Gittikçe alkol miktarı arttırıldı. Sonra alkol, sulu alkol ve su sistemlerine geçildi.

Poliklar sütunlardan elde edilen fraksiyonlar Sephadex

LH-20 ile hazırlanan sütunlarda temizlendi. Toz Sephadex 16 saat metanolde bekletilerek şişmesi sağlandı. Çalkalanarak süspansiyon halinde 2 cm x 20 cm boyutlarında musluklu cam sütuna aktarıldı. Metanol ile 8 saat yıkandıktan sonra Sephadex yerleştirildi. Az miktarda metanolde çözülen fraksiyon bir pipet ile süspansiyonun üzerine tatbik edildi. Sütun metanol ile elüe edildi.

### 3.1.1.2. İnce Tabaka Kromatografisi

Flavonoidleri tanımlama amacıyla, selüloz ince tabaka plakalar (0.1 mm, Merck) ve cetvel 4. de belirtilen çözücü sistemleri kullanıldı.

### 3.1.1.3. Kağıt Kromatografisi

Flavonoid glikozidlerin hidrolizinden sonra elde edilen şekerlerin tanınması amacıyla bu yöntem uygulandı. 30 cm x 50 cm boyutlarında kağıtlar (Schleicher und Schüll GMBH, 2043a) kullanıldı. İnen usulde çalışıldı. Standart şekerler ve çözücü sistemleri cetvel 5 de gösterilmiştir.

### 3.1.2. UV Spektrumları\*

UV spektrumları Varian Techtron 635 aygıtından alındılar. Bileşiklerin metanol çözeltileri ve aşağıda (3.1.5.) hazırlanışları anlatılan kayma belirteçleri kullanıldı.

### 3.1.3. NMR Spektrumları\*\*

Kamferol 3-O- $\beta$ -D-glukozid ve 6-metoksiapigenin spekt-

\*UV spektrumları İstanbul Üniversitesi, Eczacılık Fakültesi Genel Kimya Kürsü'sünde Prof.Dr.A.Ulubelen'in izni ile alınmıştır.

\*\*NMR ve kütle spektrumları University of Texas at Austin, Department of Botany Laboratuvarlarında Prof.Dr.T.J.Mabry' nin izni ile alınmıştır.

rumları Varian 90 MHz aygıtında, Kamferol 3-O-rutinosid ve kersetin 3-D-diglukozid spektrumları Varian 200 MHz aygıtında alındı.

Bileşikler trimetilsilik eter türevleri halinde ince- lendiler. Bu türevlerin hazırlanış yöntemi aşağıda (3.2.3.1) anlatılmıştır. Her bir bileşik için kullanılan çözücü Bölüm 2 de belirtilmiştir. İç standart olarak tetrametilsilan kullanılmıştır.

### 3.1.4. Kütle Spektrumları

Bileşikler Du Pont 21-491 aygıtında ince- lendiler.

### 3.1.5. Belirteçler

#### 3.1.5.1. NA Belirteci

(Naturstoffreagenz A, difenilborik asit  $\beta$ -aminoethyl esteri)-2 mg      belirteç 100 ml metanolde çözüldü.

#### 3.1.5.2. Şeker Belirteci

(Anilin ftalat)-1.66 g ftalanhidrit ve 0.93 g taze distillenmiş anilin, butanol (su ile doyurulmuş) ile 100 ml ye tamlandı.

#### 3.1.5.3. UV Spektrumu Kayma Belirteçleri

Sodyum metoksid belirteci - 2,5 g metalik sodyum temizlendi. Küçük parçacıklar halinde 100 ml saf metanole ilave edildi.

Alüminyum klorür belirteci - 5 g susuz alüminyum (III) klorür 100 ml saf metanolde çözülerek hazırlandı.

Hidroklorik asit çözeltisi - 50 ml saf derişik HCl, 100 ml distile su ile karıştırıldı.

Sodyum asetat belirteci - Birkaç miligram toz halinde susuz, saf sodyum asetat flavonoidin metanol çözeltisine ilave edildi.

Borik asit belirteci - Birkaç miligram susuz, saf borik asit sodyum asetatlı çözeltiye eklendi.

### 3.2. YAPILAN İŞLEMLER

#### 3.2.1. Bitki Ekstrelerinin Hazırlanması

Bitkiler İran'da toplandılar. E.larica Boiss, Tahran'ın 1500 km güneyinde Bandar Abbas mevkiinden, 1976 yılı Mart ayında; E.Virgata W.K., Tahran'ın 40 km doğusunda Abali mevkiinden, 1977 yılı Temmuz ayında; E.chamaesyce L., Tahran'ın 70 km doğusunda Garmsar mevkiinden, 1977 yılı haziran ayında; E.magalantha Amol mevkiinden, 1977 yılı Mayıs ayında toplandılar. Tahran Üniversitesi Eczacılık Fakültesinde Prof.Dr. Yagoup Aynehchi tarafından teşhis edildiler.

Oda ısısında kurutulan bitkiler kaba toz haline getirildi. E.larica (1.2 kg toz), E.virgata (0.8 kg toz), E.chamaesyce (1.9 kg toz) ve E.magalantha (1.8 kg toz) ayrı ayrı, Soxhlet cihazında petrol eteri ( $30-60^{\circ}\text{C}$ ) ile 72 şer saat tüketildiler. Petrol etere geçen klorofil ve yağlı bileşikler ayrıldıktan sonra, geriye kalan kısımlar 72 şer saat etanol ile tüketildiler. Etanol ekstreleri düşük basınçta yoğunlaştırdılar. E.larica'dan 98 g, E.virgata'dan 57 g, E.Chamaesyce'den 51 g., E.magalantha'dan 102 g. alkol ekstresi elde edildi. Bu ekstreler ayırma hunisinde, kloroform/su (1:1) sisteminde çalkalandılar. Sulu kısımlar ayrıldı ve bu sefer etil asetat ile çalkalandılar. Etil asetat ekstreleri düşük basınç-

ta uçuruldu. 7 g E.larica, 5 g E.virga a, 3.1 g. E.chamaesyce, 10 g. E.magalantha ekstresi elde edildi.

### 3.2.2. Ekstrelerin Kromatografik Analizleri

#### 3.2.2.1. E.larica Ekstresi

7 g ekstre az miktarda etanolde çözüldü. 7 g poliklar tozu ile karıştırıldı, kurutuldu, toz haline getirildi. 3 cm x 50 cm boyutlarında, musluklu bir cam sütunda Polyclar/Egger çözeltisi süspansiyonunun üzerine dikkatle yerleştirildi.

#### 3.2.2.2. E.virgata Ekstresi

5 g ekstre az miktarda etanolde çözüldü. 5 g poliklar tozu ile karıştırıldı, kurutuldu, toz haline getirildi. 3 cm x 50 cm boyutlarında, musluklu bir cam sütunda poliklar/Egger çözeltisi süspansiyonunun üzerine dikkatle yerleştirildi.

#### 3.2.2.3. E.chamaesyce Ekstresi

3 g ekstre az etanolde çözüldü. Aynı miktarda poliklar tozu ile karıştırıldı, kurutuldu, toz haline getirildi. Yine 3 cm x 50 cm boyutlarında musluklu bir cam sütuna, poliklar/Egger çözeltisi süspansiyonunun üzerine dikkatle yerleştirildi.

#### 3.2.2.4. E.magalantha Ekstresi

10 g ekstre az etanolde çözüldü. Aynı miktarda poliklar tozu ile karıştırılarak kurutuldu, toz haline getirildi. 3 cm x 50 cm boyutlarında musluklu bir cam sütuna, poliklar/Egger çözeltisi süspansiyonunun üzerine dikkatle yerleştirildi.

Yukarda hazırlanma yöntemleri anlatılan dört sütun, 50 şer ml lik fraksiyonlar toplanarak elüe edildi. Her fraksiyonun çözucusu uçuruldu. İnce tabaka plakta fraksiyonlar karşılaştırılarak benzer bileşikler içerenler birleştirildiler. Bileşiklerden hiçbir poliklar sütundan saf halde elde edilmedi. Bu nedenle bileşik içeren her fraksiyon, tekrar tekrar 2 cm x 25 cm boyutlarında Sefadex LH-20 sütuna tatbik edildi. Bileşikler bu yöntemle saf halde elde edildiler.

### 3.2.3. Uygulanan Kimyasal Reaksiyonlar

#### 3.2.3.1. Trimetilsilik Eterlerinin Hazırlanması

Flavonoid bileşiklerin NMR spektrumlarını alabilmek için NMR da kullanılan çözüçülerde çözünür olmaları gereklidir. Bu nedenle trimetilsilik eterleri hazırlandı.

20 mg bileşik 1 ml susuz piridinde çözülerek, üzerine 0,5 ml trimetilklorosilan ile 0,5 ml heksametildisilazan ilave edildi. Oda ısısında yarı saat bekletildi. Çözücü ve reaktiflerin fazası düşük basınçta, oda ısısında kuruluğa kadar uçuruldu. Kalan kısım karbon tetraklorürde çözüldü. Küçük bir selit sütundan geçirilerek temizlendi.

#### 3.2.3.2. Asit Hidrolizi

NMR spektrumları veya renk reaksiyonlarından glikozid oldukları düşünülen bileşikler hidrolizlendi.

Hidrolizleme reaksiyonu için en az 2 mg bileşik 5 ml etanolde çözüldü. 10 ml 0,1 N trifloroasetik asit ile karıştırdı. Geri çeviren soğutucu altında üç saat ısıtıldı. Düşük basınçta etanol uçuruldu. Geriye kalan sulu asitli kısım etilasetat ile ekstre edilerek aglikon ayrıldı. İnce tabaka kromatografisi yöntemi ile standart örneklerle karşılaştırıldı.

Sulu kısım kaynatılarak asitten kurtarıldı. Şekeri kağıt kromatografisi yöntemi ile standart örneklerle karşılaştırarak saptandı (Cetvel 5).

### 3.3. ELDE EDİLEN BİLEŞİKLERİN FİZİKSEL VE SPEKTRAL ÖZELLİKLERİ

#### KAMFEROL 3-O- $\beta$ -D-GLUKOZİD

R<sub>f</sub> Cetvel 4

UV Spektrumu (Şekil 6),  $\lambda$ , nm: CH<sub>3</sub>OH, 350, 292, 266; CH<sub>3</sub>ONa, 398, 324, 274; CH<sub>3</sub>CO<sub>2</sub>Na, 350, 320, 303, 267; CH<sub>3</sub>CO<sub>2</sub>Na/H<sub>3</sub>BO<sub>3</sub>, 350, 300, 270; AlCl<sub>3</sub>, 390, 351, 303, 274; AlCl<sub>3</sub>/HCl, 390, 348, 301, 274.

NMR Spektrumu (Şekil 7), (CCl<sub>4</sub>, TMS, ppm): 3.00-3.60 (6H, m, şeker); 5.50 (1H, d, J = 6.0 Hz, şeker (H-1")); 5.85 (1H, d, J = 2.5 Hz, H-6); 6.15 (1 H, d, J = 2.5 Hz, H-8); 6.6 (2H, d, J = 8.5 Hz, H-3',5'); 7.6(2 H, d, J=8.5 Hz, H-2',6') çözücüden ileri gelen kirlilikler, 6.8(t), 7.3(t), 8.3(m).

Kütle Spektrumu (Şekil 8): m/e 286(100), 258(20), 153 (18), 121(19).

Hidroliz Sonucu: Asit hidroliz sonucu kamferol ve glukoz elde edildi. Aglikonun R<sub>f</sub> değerleri Cetvel 4 ve Şekerin R<sub>f</sub> değerleri Cetvel 5 de gösterilmiştir.

#### KAMFEROL 3-O-RUTİNOSİD

R<sub>f</sub> Cetvel 4

UV Spektrumu (Şekil 9),  $\lambda$ , nm: CH<sub>3</sub>OH, 350, 300 (omuz), 266; CH<sub>3</sub>ONa, 400, 324, 275; CH<sub>3</sub>CO<sub>2</sub>Na, 386, 310, 275; CH<sub>3</sub>CO<sub>2</sub>Na/H<sub>3</sub>BO<sub>3</sub>, 350, 300 (omuz), 267; AlCl<sub>3</sub>, 390, 350, 303, 275; AlCl<sub>3</sub>/HCl, 392, 346, 300, 274.

NMR Spektrumu (Şekil 10); ( $\text{CD}_3\text{OD}$ , TMS, ppm): 1.10 (3H, d,  $J=5\text{ Hz}$ ,  $\text{OCH}_3$ ) 3.00-3.90 (m, şeker protonları), 4.50 (1H, d,  $J=\sim 2\text{ Hz}$ , Şeker H-1''), 5.65 (Şeker H-1''), 6.20 (1H, d,  $J=2.5\text{ Hz}$ , H-6), 6.40 (1H, d,  $J=2.5\text{ Hz}$ , H-8), 6.90 (2H, d,  $J=8.5\text{ Hz}$ , H-3', 5'), 8.05 (2H, d,  $J=8.5\text{ Hz}$ , H-2', 6'). Çözücü pikleri, 3.30 ( $\text{CH}_3\text{OH}$ ); 4.90 ( $\text{CH}_3\text{OH}$ ).

Hidroliz sonucu- Asit hidroliz sonucu kamferol, glukoz ve ramnoz elde edildi. Aglikonun  $R_f$  değerleri cetvel 4 ve şekerlerin  $R_f$  değerleri cetvel 5 de gösterilmiştir.

#### KAMFEROL 3-O-DİGLUKOZİD

$R_f$  : Cetvel 4

UV Spektrumu (Şekil 6)- Kamferol 3-O- $\beta$ -D-glukozid spektrumu ile aynı.

Hidroliz Sonucu- Asit hidroliz sonucu kamferol ve glukoz elde edildi. Aglikonun  $R_f$  değerleri cetvel 4, şekerin  $R_f$  değerleri Cetvel 5 de gösterilmiştir.

#### KAMFEROL

$R_f$  : Cetvel 4

UV Spektrumu (Şekil 11)  $\lambda, \text{nm}$ :  $\text{CH}_3\text{OH}$ , 365, 322, 295 (omuz), 266;  $\text{CH}_3\text{ONa}$ , 396, 312, 276;  $\text{CH}_3\text{CO}_2\text{Na}$ , 373, 310, 270;  $\text{CH}_3\text{CO}_2\text{Na}/\text{H}_3\text{BO}_3$ , 366, 322, 298 (omuz), 267;  $\text{AlCl}_3$ , 398, 351, 304, 274;  $\text{AlCl}_3/\text{HCl}$ ; 398, 350, 303, 274.

### KERSETİN 3-O-DİGLUKOZİD

R<sub>f</sub> : Cetvel 4

UV spektrumu (Şekil 12); λ, nm: CH<sub>3</sub>OH, 355, 295, 262 (omuz), 255; CH<sub>3</sub>ONa, 411, 327, 270; CH<sub>3</sub>CO<sub>2</sub>Na, 411, 267; CH<sub>3</sub>CO<sub>2</sub>Na/H<sub>3</sub>BO<sub>3</sub>, 385, 300, 257; AlCl<sub>3</sub>, 432, 347, 300, 275; AlCl<sub>3</sub>/HCl, 400, 362, 296, 273 (omuz), 267.

NMR Spektrumu (Şekil 13); (CDCl<sub>3</sub>, TMS, ppm): 3.10-3.90 (m, şeker); 4.70 (1H, şeker H-1''); 5.72 (1H, d, J=6 Hz, şeker H-1''); 6.27 (1H, d, J=2.5 Hz, H-6); 6.35 (1H, d, J=2.5 Hz, H-8); 6.90 (1H, d, J= 8.4, H-5'), 7.55 (2H, d, J=8.4 Hz, H-6'2'). Çözücü piki 7.40 (s).

Kütle spektrumu (Şekil 14); m/e 302 (20), 153 (5), 137 (5), 44 (100), 18 (90).

Hidroliz Sonucu- Asit hidroliz sonucu kersetin ve glükoz elde edildi. AGlikonun R<sub>f</sub> değerleri cetvel 4 ve şekerin R<sub>f</sub> değerleri cetvel 5'de gösterilmiştir.

### KERSETİN 3-β-O-GLUKOZİD

R<sub>f</sub> : Cetvel 4

UV spektrumu (Şekil 15) λ, nm: CH<sub>3</sub>OH, 357, 298 (omuz), 262 (omuz) 256; CH<sub>3</sub>ONa, 406, 325, 273; CH<sub>3</sub>CO<sub>2</sub>Na, 375, 324 (omuz), 303 (omuz), 269; CH<sub>3</sub>CO<sub>2</sub>Na/H<sub>3</sub>BO<sub>3</sub>, 375, 298, 262; AlCl<sub>3</sub>, 430, 340 (omuz), 303 (omuz), 275; AlCl<sub>3</sub>/HCl, 402, 365, 300, 270.

## 6-METOKSİAPİGENİN

$R_f$  : Cetvel 4

UV spektrumu (Şekil 16)  $\lambda$ ,nm:  $\text{CH}_3\text{OH}$ , 335, 274;  $\text{CH}_3\text{ONa}$ , 383, 325, 274;  $\text{CH}_3\text{CO}_2\text{Na}$ , 378, 310 (omuz), 274;  $\text{CH}_3\text{CO}_2\text{Na}/\text{H}_3\text{BO}_3$ , 335, 274;  $\text{AlCl}_3$ , 360, 305, 282;  $\text{AlCl}_3/\text{HCl}$ , 350, 305, 283 (omuz).

NMR Spektrumu (Şekil 17); ( $\text{CCl}_4$ , TMS, ppm): 3.70 (3H, s,  $\text{OCH}_3$ ), 6.30 (1H, s, H-3), 6.55 (1H, s, H-8), 6.90 (2H, d,  $J=7.5$  Hz, H-3',5') 7.71 (2H, d,  $J=7.5$  Hz, H-2',6').

Kütle Spektrumu (Şekil 18):  $m/e$  300 ( $M^+$ ) (100), 285 (80), 271 (18), 257 (70), 167 (20), 139 (28), 119 (26).

CETVEL 4- Flavonoid Bileşiklerin Selüloz İnce Tabaka Plakta,  
Değişik Çözücü Sistemlerinde  $R_f$  Değerleri

Bileşik	ÇÖZÜCÜ SİSTEMİ		
	% 15 CH <sub>3</sub> COOH $R_f$	% 40 CH <sub>3</sub> COOH $R_f$	% 60 CH <sub>3</sub> COOH $R_f$
Kamferol 3-diglukozid	0.60	0.90	-
Kamferol 3-glukozid	0.32	0.57	0.74
Kamferol 3-rutinosid	-	0.72	-
Kamferol	-	0.25	0.74
Kersetin 3-diglukozid	0.52	-	-
Kersetin 3-glukozid	0.34	0.61	-
Kersetin	-	0.21	0.34
6-Metoksiapigenin	0.10	0.52	0.89

CETVEL 5- Şekerlerin Kağıt Kromatografisindeki  $R_f$  Değerleri

Şeker	Glukoz	Mannoz	Fruktoz	Galaktoz	Ksiloz	Ramnoz
n-Butanol/Asetik Asid/Su 4 : 1 : 5 Üst faz	0.19	0.25	0.27	0.17	0.31	0.48
n-Butanol/Piridin/Su 4 : 6 : 3	0.21	0.24	0.27	0.17	0.34	0.49

## ÖZET

Dünya üzerinde çok yaygın olan *Euphorbia* bitki türleri aynı zamanda zengin birer flavonoid kaynağıdır. Bu türleri kapsayan kimyasal araştırmaların yetersizliği gözönüne alınarak, bu çalışmada, şimdiye kadar kimyasal bakımdan incelenmemiş olan dört *Euphorbia* türünün flavonoidleri incelendi.

Kuru toz halindeki her bir bitkinin yoğunlaştırılmış organik ekstresi sütun kromatografisi yöntemi ile önce kabaca fraksiyonlandırıldı. Her bir fraksiyon, flavonoidleri tek tek elde edilinceye kadar, daha ufak sütunlara defalarca tatbik edildi. *E.larica* bitkisinden dört, *E.virgata* bitkisinden üç, *E.chamaesyce* bitkisinden üç ve *E.magalantha* bitkisinden üç flavonoid elde edildi. Elde edilen bileşiklerin yapıları spektrojel yöntemler ile aydınlatıldı ve standart örnekler ile karşılaştırılarak kanıtlandı.

Elde edilen bileşikler, her bir bitkide bulunan kamferol 3-O- $\beta$ -D-glukozid (7), *E.larica* ve *E.chamaesyce*'de bulunan kamferol 3-O-rutinosid (8), *E.larica*'da bulunan kamferol 3-O- $\beta$ -diglukozid (9), *E.virgata* ve *E.magalantha*'da bulunan kamferol (10), *E.virgata*'da bulunan kersetin 3-O-diglukozid (11), *E.chamaesyce* ve *E.magalantha*'da bulunan kersetin 3-O- $\beta$ -D-glukozid (12) ve *E.larica*'da bulunan 6-metoksiapigenin (13) dir.

6-Metoksiapigenin Euphorbia türlerinde ilk defa bulunmuştur. Bu bitkilerin farmakolojik özellikleri çalışmanın kapsamı içinde olmamakla beraber, metoksiflavonların bilinen antitümor etkileri nedeniyle ilerde E.larica bitkisinin farmakolojik etkinliği sınanmalıdır.

## SUMMARY

Euphorbia is a widespread plant species rich in flavonoids. Considering the insufficient chemical research covering these plants, the flavonoids of four Euphorbia species which have not been analyzed before, were analyzed in this work.

The concentrated organic extract of each dried and powdered plant was fractionated by column chromatography. The fractions were rechromatographed over and over again until each flavonoid was isolated in pure form. *E.larica* yielded four, *E.virgata* three, *E.chamaesyce* three and *E.magalantha* four flavonoids. The structures of the isolated compounds were determined by spectroscopic methods and by comparison with standard samples.

Kaempferol 3-O- $\beta$ -D-glucoside (7) was isolated from each one of the plants, *E.larica* and *E.chamaesyce* yielded kaempferol 3-O-rutinoside (8), *E.larica* yielded kaempferol 3-O-diglucoside (9), *E.virgata* and *E.magalantha* yielded kaempferol (10), *E.virgata* yielded quercetin 3-O-diglucoside (11), *E.chamaesyce* and *E.magalantha* yielded quercetin 3-O- $\beta$ -D-glucoside and *E.larica* yielded 6-methoxyapigenin.

6-Methoxyapigenin was found for the first time in *Euphorbia* species. Even though the pharmacological properties of these plants are outside the scope of this work, because of the known antitumor activities of methoxyflavones, the pharmacological activity of *E.larica* should be determined in the future.

## KAYNAKLAR

- 1- Baytop,A., "Farmasötik Botanik", s.175, İstanbul Üniversitesi Yayınları (1967).
- 2- Janistyn,B., Nahrstedt,A. ve Pohl,R., *Planta Med.*, 25, 98 (1974).
- 3- Kallimantis,G. ve Philianos,S., *Plant.Med.Phytother.*, 14, 233 (1980). Ref.-C.A.,95, 21289c(1981).
- 4- Roshchin,Yu.V., Shinkarenko,A.L. ve Oganesyan,E.T., *Khim. Prir.Soedin.*, 6, 472 (1970). Ref.-C.A.,74, 1047k (1971).
- 5- Stadtmann,H. ve Pohl,R., *Naturwissenschaften*, 53, 362 (1966). Ref.-C.A.,65, 12560d (1966).
- 6- Roshchin,Yu.V., *Vopr.Farm. Dal'nem Vostoke*, 1, 132(1973). Ref.-C.A.,83, 40157b (1975).
- 7- Pal,S.K. ve Dutta,S.P., *J.Indian Chem Soc.*, 46, 1066 (1969). Ref.-C.A.,72, 55824p (1970).
- 8- Pohl,R., Janistyn,B. ve Nahrstedt,A., *Planta Med.*, 27, 301 (1975).

- 9- He, Xian-Guo, Jiang, Fu-Xiang, Zhou, Qian-Ru, Chih Wu Hsueh Pao, 20, 76(1978). C.A., 89, 135727a (1978).
- 10- Dumkow, K. ve Pohl, R., Planta Med., 24, 145(1973).
- 11- Ismail, S.I., El-Missiry, M.M., Hammouda, F.M. ve Rizk, A.M., Pharmazie, 32, 538(1977). Ref.-C.A., 87, 197350 q, 1977.
- 12- Kawase, A. ve Kutani, N., Agr.Biol.Chem. (Tokyo), 32, 121(1968). Ref.-C.A., 69, 10677g (1968).
- 13- Chen, Yan, Tang, Zong-Jian, Jiang, Fu-Xiang, Zhang, Xian-Xing ve Lao, Ai-Na, Yao Hshueh Hsueh Pao, 14, 91(1979), Ref.-C.A., 92, 72680u(1980).
- 14- Abdel-Salam, N.A., El-Sayed, M.A. ve Khafagy, S.M., Pharmazie, 30, 402 (1975). Ref.-C.A., 83, 128717v(1975).
- 15- Rizk, A.M., Rimpler, H. ve Ismail, S.Z., Fitoterapia, 48, 99 (1977). Ref.-C.A., 88, 19018a(1978).
- 16- Soboleva, V.A. ve Chagovets, R.K., Khim.Prir.Soedin., 7, 528 (1971). Ref.-C.A., 75, 148502j(1971).
- 17- Aynehchi, Y., Mirgoli, J., Negad, F.S. ve Ulubelen, A., Q.J. Crude Drug Res., 16, 163(1978). Ref.-C.A., 90, 118082q (1978).
- 18- Dumkow, K., Z.Naturforsch.B., 24, 358 (1969). Ref.-C.A., 70, 112423s(1969).
- 19- Burzanska, Z., Acta Pol.Pharm., 32, 703(1975). Ref.-C.A., 85, 189224v(1976).

- 20- Shang, Tian-Min, Wang,Lin, Liang, Hsiao-Tien, Lin, Xiu-Ying, Xiao, Jin-Ming ve Niu, Shou-Lian, Hua Hsueh Hsueh Pao, 37, 119 (1979). Ref.-C.A., 92, 3184y(1980).
- 21- Roschin,Yu.V., Khim.Prir.Soedin., 6, 280 (1970). Ref.-C.A., 73, 73831p(1970).
- 22- Janistyn,B., Nahrstedt,A. ve Pohl,R., Planta Med., 25 98(1974). Ref.-C.A.,81, 35530x(1974).
- 23- Roshchin,Yu.V., Usp.Izuch.Lek.Rast.Sib., Mater.Mezhvuz. Nauch.Konf. 41(1973). Ref.-C.A.,81, 166332g(1974).
- 24- Sotnikova,O.M., Chagovets,R.K. ve Litvinenko,V.I., Farm. Zh.(Kiev), 22, 86(1967). Ref.-C.A.,68, 59546q(1968).
- 25- Bandarenko,O.M., Chagovets,R.K., Litvinenko,V.I., Obol-entseva,G.V., Sila,V.I. ve Kigel,T.B., Farm.Zh.(Kiev), 26, 46(1971). Ref.-C.A.,76, 121697k(1972).
- 26- Rizk,A.M., Youssef,A.M., Diab,M.A. ve Salem,H.M., Pharmazie, 31, 405(1976). Ref.-C.A.,85, 119579r(1976).
- 27- Rizk,A.M., Ahmed,S.S. ve Diab,M.A., Planta Med., 36, 189 (1979).
- 28- Rizk,A.M., Hammouda,F.M., El-Nasr,M.M.Seif ve Abou-Youssef, A.A., Fitoterapia, 51, 223(1980). Ref.-C.A.,95, 76860n (1981).
- 29- Hallett,F.P. ve Parks,L.M., J.Am.Pharm.Assoc., 40, 56(1951). Ref.-C.A.,45, 3562g(1951).
- 30- Blanc,P., De Sagui-Sannes,G., Plant.Med.Phytother.,6, 106(1972). Ref.-C.A.,77, 98756p(1972).

- 31- Nahrstedt,A., Dumkow,K., Janistyn,B. ve Pohl,R., Tetrahedron Lett., 7, 559(1974).
- 32- Constantinescu,E. ve Samborschi,E., Riv.Ital, Essenze, Profumi, Piante Off., Aromi, Saponi, Cosmet., Aerosol 57, 613(1975). Ref.-C.A.,84, 102366a(1976).
- 33- Roshchin,Yu.V. ve Kutenkikh,I.G., Khim.Prir.Soedin., 4, 521 (1974). Ref.-C.A.,82, 28592m(1975).
- 34- Pohl,R., Janistyn,B., Planta Med, 26, 190(1974).
- 35- Soboleva,V.A., Khim.Prir.Soedin, 6, 855 (1979). Ref.-C.A.,93, 3899f(1980).
- 36- Sotnikova,O.M. ve Chagovets,R.K., Farm.Zh.(Kiev), 23, 60 (1968). Ref.-C.A.,68, 93487f(1968).
- 37- Sotnikova,O.M., Chagovets,R.K. ve Litvinenko,V.I., Khim. Prir.Soedin., 4, 82(1968). Ref.-C.A.,69, 41743n(1968).
- 38- Sotnikova,O.M. ve Litvinenko,V.I. Khim.Prir.Soedin., 4, 50(1968). Ref.-C.A.,69, 8877m(1968).
- 39- Aynehchi,Y. ve Ulubelen,A., İstanbul Univ.Eczacılık Fak. Mecm., 10, 17(1974).
- 40- Geissman,T.A. ve Crout,D.H.G., "Organic Chemistry of Secondary Plant Metabolism", s.16., Freeman, Cooper and Co., California (1969).
- 41- Harborne,J.B., Mabry,T.J. ve Mabry,H., "The Flavonoids", Academic Press, New York, San Francisco (1975).

- 42- Deverall, B.J., Proc.R.Soc.London B. 181, 233(1972). Ref.-C.A., 77, 31665q(1972).
- 43- Challice, J.S. ve Westwood, M.N., Phytochemistry, 11, 37 (1972).
- 44- Barnes, E.H. ve Williams, E.B., Can.J.Microbiol. 7, 525 (1961). Ref.-C.A., 56, 6462h(1962).
- 45- Hergert, H.L., "The Chemistry of Flavonoid Compounds", Geissman, T.A., ed., s.553, Mac Millan Co., N.Y.(1962).
- 46- Ben Aziz, R., Chorin, M., Monselise, S.P., Reichert, I., Science, 135, 1066 (1962).
- 47- Ben Aziz, A., Science, 155, 1026(1967).
- 48- Freedman, L., Merritt, A.J., Science, 139, 344(1963).
- 49- Benko, S., Gabor, M., Varkonyi, T., Antal, A. ve Foldi, M., Physiol.Chem.Phys. 2, 110(1970). Ref.-C.A., 73, 63787g(1970).
- 50- Mabry, T.J., Ulubelen, A., J.Agric.Food Chem. 28(2), 188 (1980).
- 51- Lau-Cam, C.A., Chan, H.H., Phytochemistry, 12, 1829 (1973).
- 52- Kupchan, S.M., Sigel, C.W., Knox, J.F. ve Udayamurthy, M.S., J.Org.Chem. 34, 1460(1969).
- 53- Kupchan, S.M., Bauerschmidt, E., Phytochemistry 10, 664 (1971).

- 54- Horowitz, R.M., Gentili, B., J.Agric.Food.Chem., 17, 696  
(1969) Ref.-C.A., 70, 87315y(1969).
- 55- Mabry, T.J., Markham, K.R. ve Thomas, M.B., "The Systematic  
Identification of Flavonoids", s.13, Springer-Verlag,  
Berlin(1970).
- 56- Mears, J.A. ve Mabry, T.J., Phytochemistry, 11, 411 (1972).
- 57- Valesi, A.G., Rodriguez, E., Vander Velde, G. ve Mabry, T.J.,  
Phytochemistry, 11, 2821 (1972).